

التحليل المكاني لتلوث الهواء بالدفائق العالقة والعناصر الثقيلة في المراكز الحضرية في محافظة واسط

أ.م. د عبد الرضا مطر عبد الرضا الهاشمي م . م علي كريم حميد الشمري

جامعة القادسية / كلية الآداب

aliiraqe46@yahoo.com

abdulridha.abdulridha@qu.edu.iq

تاریخ استلام البحث : ٢٠٢٠/٧/٢٠

تاریخ قبول البحث : ٢٠٢٠/٨/٢٣

المستخلص

يهدف البحث الى تقييم تلوث الهواء بالدفائق العالقة والعناصر الثقيلة في المراكز الحضرية (مراكز الاقضية) في محافظة واسط وبيان أثارها البيئية كون مراكز الاقضية تضم اكثرا من (٤٩,٨ %) من سكان الحضر و(٨٢,٨ %) من مجموع سكان المحافظة فضلاً عن تركز معظم الأنشطة البشرية والمؤسسات الإدارية فيها . حيث تم تحديد (٤٠) موقعاً لقياس تراكيز ملوثات الهواء، تبينت في خصائصها واستخدامات الأرض فيها، اذ صنفت مابين موقع او محطات (سكنية، صناعية، تجارية، مرورية، مختلطة، زراعية) توزعت في المراكز الحضرية وعلى اطرافها وهي (١١) موقعاً في م.ق الكوت و(٧) موقع في م.ق الحي و(٦) موقع في م.ق الصويره و(٦) موقع في م.ق النعمانية و(٥) موقع في م.ق العزيزية و(٤) موقع في م.ق بدرة . وقد شملت البحث وقياس تراكيز الدفائق العالقة TSP وبعض العناصر الثقيلة المرتبطة بها وهي (Pb, Cd, Cr, Ni, Zn, Cu, Fe) فضلاً عن الملوثات الثانوية والمتمثلة بـ (NO₃, SO₄) وتباينها المكاني والزمني باستخدام جهاز سحب الهواء (Sniffer) ومقارنتها مع المحددات البيئية المحلية والعالمية المسموح بها، وذلك خلال شهر كانون الثاني وشهر تموز لعام ٢٠١٩ .

وعليه أظهرت نتائج القياس ارتفاع تراكيز تلك الملوثات متجاوزاً المحددات البيئية في معظم مواقع القياس لاسيما خلال فصل الصيف اذ كشفت البحث ارتفاع تراكيز الدفائق العالقة TSP والعناصر الثقيلة المرتبطة بها فوق الحدود الفياسية في جميع المواقع، وذلك لارتفاع درجات الحرارة وسرعة الرياح الامر الذي يساعد على اثارة الغبار. فضلاً عن ذلك تبين من خلال البحث ان اعلى تراكيز سجلت في الواقع الصناعية والمرورية . اما على مستوى المراكز الحضرية فقد بينت الدراسة ارتفاع تراكيز الملوثات من الدفائق العالقة والعناصر الثقيلة المرتبطة بها بصورة عامة في مركز قضاء الكوت كونه يمثل مركز المحافظة وثقلها السكاني فضلاً عن تركز معظم الفعاليات الملوثة فيه .

ولرصد اتجاهات تلوث الهواء في منطقة الدراسة وتباينها مكانيًّا وزمانيًّا وتغيرها موقعيًّا مثلت ملوثات الهواء التي تم قياس تركيزاتها بخرائط التدرج اللوني وللموسمين الصيفي والشتوي وذلك باستخدام تقنيات نظم المعلومات الجغرافية Arc Gis 10.7 ومن خلال طريقة الحشر ممکوس المسافة IDW، لإظهار التغيرات المكانية والزمانية لتلك الملوثات وإبراز أهم المواقع التي تتركز فيها الملوثات .

بناء على ما تقدم أكد البحث ان ارتفاع تراكيز ملوثات الهواء في المراكز الحضرية سببها الأنشطة البشرية والمتمثلة بال المصانع ومحطات توليد الطاقة الكهربائية وحقول النفط وكذلك كثرة استخدام مولدات الطاقة الكهربائية المنتشرة في الأحياء السكنية وورش الحادة وعمليات حرق القمامه وازيد اعداد السيارات والدراجات النارية وما تطرحه من ملوثات متعددة . فضلاً عن اثر العوامل الجوية في سلوك تلك الملوثات من خلال ما تؤديه من دور في ترکز وتشتيت وترسيب وتحويل لملوثات الهواء الغبارية .

الكلمات المفتاحية (تلوث الهواء، الدفائق العالقة، العناصر الثقيلة)

Spatial analysis of air pollution in suspended particles and heavy elements in urban centers in Wasit Governorate

Dr. Abdul Reda Matar Abdul Reda Ali Kareem Hameed Al-Shammari

College of Arts / University of Al-Qadisiyah

abdulridha.abdulridha@qu.edu.iq

aliirage46@yahoo.com

Date received: 20/7/2020

Acceptance date: 23/8/2020

Abstract

The research aims to assess air pollution in suspended particles and heavy elements in urban centers (qada'a centers) in Wasit Governorate and to indicate their environmental impacts, since the district centers include more than (82.8%) of the urban population and (49.8%) of the total population of the governorate as well. For the concentration of most human activities and administrative institutions in it. Where (40) sites were identified to measure the concentrations of air pollutants, which varied in their characteristics and the uses of the land in them, as they were classified between sites or stations (residential, industrial, commercial, traffic, mixed, agricultural) distributed in urban centers and on their outskirts, which are (11) sites in Al Kut headquarters, (7) sites in the neighborhood headquarters, (7) sites in the square in Essaouira, (6) sites in the headquarters of Al Numaniya, (5) sites in the headquarters of Al Azizia, and (4) sites in M. Badra. The research included measuring the concentrations of suspended particles TSP and some of the associated heavy elements (Pb, Cd, Cr, Ni, Zn, Cu, and Fe) as well as the secondary pollutants represented by (NO₃, SO₄) and their spatial and temporal variation and comparing them with the permissible local and global environmental determinants. And that is during January and July of 2019.

Accordingly, the measurement results showed a rise in the concentrations of these pollutants exceeding the environmental determinants in most of the measurement sites, especially during the summer season, as the research revealed the high concentrations of suspended particles TSP and the heavy elements associated with them above the standard limits at all sites, due to the high temperatures and wind speed, which helps to raise the dust. . In addition, the research revealed that the highest concentrations were recorded in industrial and traffic sites. As for the level of urban centers, the study showed high concentrations of pollutants from suspended particles and heavy elements associated with them in general in the district of Kut, as it represents the center of the governorate and its population weight, in addition to the concentration of most of the pollutant activities in it.

In order to monitor the trends of air pollution in the study area and their spatial and temporal variation and their spatial variability, the air pollutants whose concentrations were measured by the color gradient maps and for the summer and winter seasons were represented by using GIS techniques Arc Gis 10.7 and through the method of inverse distance insertion IDW, to show the spatial and temporal changes of these pollutants and highlight the most important Sites where pollutants are concentrated.

Moreover, the research confirmed that the high concentrations of air pollutants in urban centers are caused by human activities such as factories, electric power plants and oil fields, as well as the frequent use of electric power generators scattered in residential neighborhoods, blacksmithing workshops and garbage incineration operations, and the increase in the number of cars and motorcycles and the multiple pollutants they throw out. In addition to the effect of weather factors on the behavior of these pollutants through their role in concentrating, dispersing, settling and transferring dusty air pollutants.

Key words (air pollution, suspended particles, heavy elements)



المقدمة

إن طبيعة المدن وتحطيمها وكثافة سكانها بالإضافة إلى أنشطتها المختلفة تساهم بشكل كبير في تلوث الهواء كونها تمثل مناطق نمو وتكلل بشري ومراكيزاً للتنقل والصناعة والتجارة فعلى الصعيد العالمي يعيش حوالي ٦٠٪ من سكان العالم في المناطق الحضرية بينما في أوروبا يعيش ثالث سكانها في البلدات والمدن وهذا الاتجاه يميل إلى الزيادة في السنوات القادمة إذ تقدر الأمم المتحدة أن ٤،٩ مليار نسمة من أصل ٨،١ مليار نسمة سيعيشون في المدن بحلول عام ٢٠٣٠ وعليه فمن المؤكد أن المناطق الحضرية ستتشكل تعرضاً كبيراً للتلوث الهوائي وتتصبح المشكلة أكثر تعقيداً عندما يرافق ذلك وجود تجمعات صناعية وورش عشوائية ومراعي تجارية وطبية داخل بيئه المدن، وماينتج عنها من مخلفات واحتراك لأكوام القمامه والمخلفات الطبيعية وجزيئات غبارية متباينة في الحجم والشكل والتركيب والمحتويات، تكون ذات تأثيرات صحية شديدة الخطورة، وبعد الإنسان أهم عنصر حيوي في إحداث مشكلة تلوث الهواء، فمنذ وجوده وهو يتعامل مع مكونات البيئة، وكلما توالت الأعوام ازداد تحكمه وسلطانه في البيئة، وخاصة بعد أن يسرّ له التقدم العلمي والتكنولوجي مزيداً من فرص إحداث التغيير في البيئة، لذلك يتتحمل الإنسان وحده وزر كل ما يعيشه من مشكلات صحية وبيئية وفقدان التنوع البيولوجي وخدمات النظم البيئية في جميع أنحاء العالم المتقدم والنامي على حد سواء وعليه أن يتحرك بإيجابية لحماية البيئة من هذا التدهور والخلل في نظامها البيئي .

يمثل تلوث الهواء واحدة من أكثر القضايا الصعبة التي تواجه البشرية وأخطرها على الصعيد البيئي حيث شغل هذا الموضوع اهتمام العالم لما يحمله هذا العنصر الهام في حياة الإنسان من أهمية ذلك أن كل المشاكل الصحية التي يتعرض لها الإنسان وكذا المشاكل التي تؤثر على عناصر البيئة الأخرى أو بعبارة أخرى المحيط الخارجي الذي يعيش فيه سببها هو التلوث الذي أصاب الهواء سوءاً بفعل الإنسان أو بفعل الطبيعة، الأمر الذي لفت الانتباه لدراسة هذا الموضوع، ووفقاً لذلك سيتم في هذا البحث الكشف عن تراكيز الملوثات الدقيقة TSP والعناصر الثقيلة Heavy elements وتبينها الزمانى والمكاني ومقارنتها مع المحددات البيئية مع بيان اهم اثارها البيئية طبقاً لطبيعة المادة الملوثة، اذ ان تلوث الهواء في اي حال من الأحوال يمكنه الانتقال الى حالة أخرى وبالعكس، فالملوثات التي تدخل البيئة قد تتحول او تص محل مع الزمن او قد تظل خاملة، ومن ثم فان المحصلة يمكن مشاهدة اثارها . في الوقت الذي تشهده معظم المدن في العراق ومن ضمنها، المراكز الحضرية في محافظة واسط توسعًا في استخدامات الأرضي فيها ولمختلف الأغراض السكنية والتجارية والصناعية، فضلاً عن ارتفاع عدد السكان الحضر اذ يشكلون نسبة (٦٠٪) من مجموع السكان في محافظة واسط فيما يعيش حوالي (٤٩,٨٪) منهم في مراكز الاقضية الحضرية، لذلك رافقت هذه الزيادة في أعداد السكان تعدد للمصادر المسببة لتلوث الهواء وتتنوع وتبين للملوثات المنبعثة والتي تقسم بدورها الى ملوثات غازية Gaseous Pollutants وملوثات جسيمية Particulate Pollutants . تتبين وفقاً لذلك اثارها البيئية .

١ - مشكلة البحث

تتمثل مشكلة البحث بالتساؤل العلمي الآتي : هل تتبين تراكيز ملوثات الهواء (الدقيقة والعناصر الثقيلة) مكانياً وزمانياً في هواء المراكز الحضرية في محافظة واسط، وهل يختلف نمط التركيز وما العوامل المؤثرة في ذلك ؟

٢ - فرضية البحث

يفترض البحث ان المراكز الحضرية في محافظة واسط تعاني من مشكلة تلوث الهواء بدفائق الغبار العالقة والعناصر الثقيلة تتبين هذه الملوثات في تركيزاتها مكانياً وزمانياً بسبب تركز الأنشطة البشرية المختلفة فيها مما اثر سلباً على عناصر البيئة المختلفة وفي مقدمتها الإنسان .

٣ - هدف البحث

يهدف البحث الى قياس وتقدير تلوث الهواء بالدفائق العالقة والعناصر الثقيلة وتحليل تبيانها المكاني والزمانى ومقارنة تراكيزها مع المحددات الوطنية والعالمية المسموح بها في المراكز الحضرية (مراكز الاقضية) في محافظة واسط وهي (م.ق. الكوت، م.ق. الحي، م.ق. الصويرية، م.ق. النعانية، م.ق. العزيزية، م.ق. بدرة) والتي تبلغ مساحتها (٤٦٠، ١٥٦٠، ١٦٠٠، ٩١٢، ٦١٣، ٢٠٢ هكتار) على التوالي وبواقع ١١٠ حياً سكني . اذ تضم مراكز الاقضية اكثر من (٨٢,٨٪) من سكان الحضر و(٤٩,٨٪) من مجموع سكان المحافظة فضلاً عن تركز معظم الأنشطة البشرية والمؤسسات الإدارية فيها وهذا يعني ان مراكز الاقضية في المحافظة تتمتع بالهيمنة الحضرية .^(١) بينما وان معظم النواحي كوحدات ادارية في

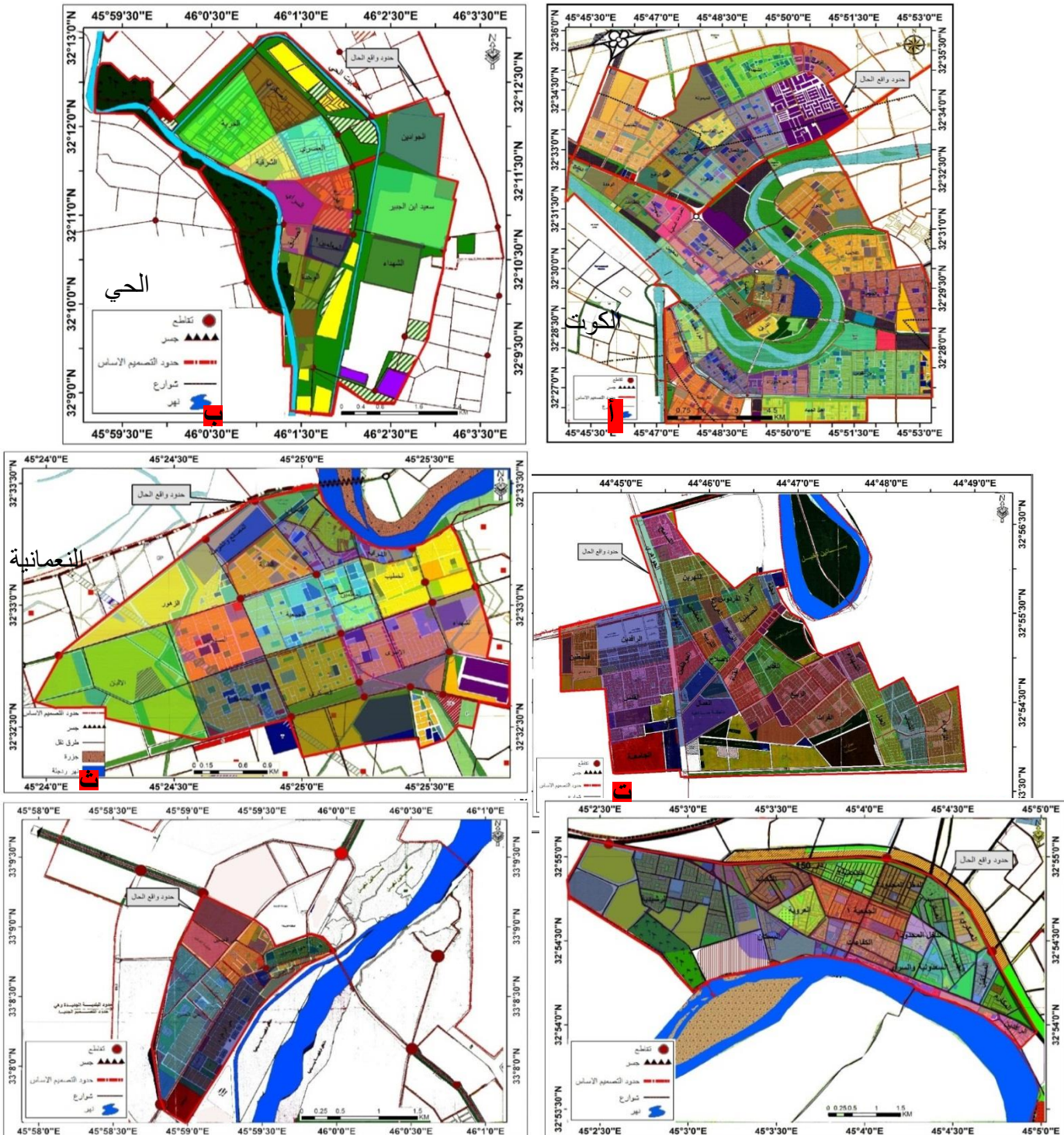


المحافظة يغلب عليها الطابع الريفي كناحية الموقمية وواسط وزراثية وغيرها او تكون على شكل قرى متتالٍ مثل ناحية الشحيمية .

٤ - حدود البحث

تتمثل حدود البحث بالحدود المكانية والحدود الزمانية والحدود الموضوعية .

أ- الحدود المكانية : ينحصر البُعد المكاني للبحث بحدود المراكز الحضرية الرئيسية (مراكز الأقضية) لمحافظة واسط وهي (م.ق. الكوت، م.ق. الحي، م.ق. الصويرة، م.ق. النعيمانية، م.ق. العزيزية، م.ق. بدرة). انظر الخريطة (١ . أ - ح) . خريطة (١ . أ - ح) الحدود الادارية للمراكز الحضرية في محافظة واسط



المصدر : الباحث بالاعتماد على مديرية بلديات محافظة واسط، قسم GIS، خرائط التصميم الأساس لمراكز المدن، ٢٠١٨

بـ- الحدود الزمنية : وتحدد بمدة الدراسة الميدانية والعملية والتي امتدت من ١ / كانون الثاني - ٣١ / كانون الأول ٢٠١٩ والمتمثلة بإجراء القياسات الميدانية والمخبرية واخذ العينات، ولأجل دراسة العلاقة بين ملوثات الهواء ومصادر انبعاثاتها والعوامل المؤثرة فيها ومحاولة الكشف عن اسباب تباين الملوثات، اعتمدت الدراسة على بعض البيانات والمعلومات التي توفرها بعض الدوائر والجهات ذات العلاقة بموضوع البحث .

تـ- الحدود الموضوعية : وتمثل بدراسة وتحليل التباين المكاني والزمني لتركيز الملوثات الدقائقية TSP والعناصر الثقيلة في المراكز الحضرية في محافظة واسط ومقارنتها مع المحددات البيئية المحلية والعالمية المسموح بها .

اولاً : طريقة العمل

ينشأ تلوث الهواء في المناطق الحضرية من المنافسة بين عمليات الابتعاث التي تزيد من تركيزات الملوثات وعمليات التشتت والتارجح والترسيب التي تقللها وتزيلها . لذا يسعى البحث الى مناقشة قياسات تركيز تلك الملوثات في هواء المراكز الحضرية (مراكز القصبة) في محافظة واسط والمتمثلة بالدقائق العالقة TSP والعناصر الثقيلة (الرصاص، الكادميوم، النikel، الكروم، الزنك، النحاس، الحديد) فضلاً عن الملوثات الثانوية (النترات والكبريتات) وتحليل تباينها المكاني والزمني ومقارنتها مع المحددات البيئية المحلية والعالمية المسموح بها . اذ تمت عملية التنجذبة لـ (٤٠ موقع)، تباينت في خصائصها واستخدامات الارض فيها، حيث صفت مابين مواقع او محطات (سكنية، صناعية، تجارية، مرورية، مختلطة، زراعية) . لاحظ الجدول (١) . وهي كالتالي :

- احدى عشرة موقع في قضاء الكوت .
- سبعة مواقع في مركز قضاء الحي .
- سبعة مواقع في مركز قضاء الصويرية .
- ستة مواقع في مركز قضاء النعمانية .
- خمسة مواقع في مركز قضاء العزيزية .
- اربعة مواقع في مركز قضاء بدراة .

توزعت هذه الموقع داخل المراكز الحضرية بشكل منتظم لتغطي أغلب الأحياء كما وزع البعض الآخر خارجها وذلك لمقارنة تركيزات الملوثات داخل المدن وخارجها لبيان اثر المصادر الحضرية في زيادة تركيزات ملوثات الهواء، انظر الخريطة (٢.أ - ح). وقد استمرت عملية اخذ النماذج لقياس تركيز الدقائق العالقة وتحليل تركيزات العناصر الثقيلة والنترات والكبريتات المرتبطة فيها من ١/٢٢ الى ١/٢٩ للفصل الشتوي ومن ٧/٢ الى ٧/٧ للفصل الصيفي من عام ٢٠١٩ . وقد مُثلت ملوثات الهواء التي تم قياس تركيزاتها بخراطط التدرج اللوني وللموسمين الصيفي والشتوي وذلك باستخدام تقنيات نظم المعلومات الجغرافية Arc Gis 10.7 من خلال طريقة الحشر معكس المسافة IDW، لإظهار التغيرات المكانية لتلك الملوثات وإبراز أهم الموقع التي تتركز فيها .^(٢)

ولقياس تركيز الدقائق العالقة Total suspended Particulate والعناصر الثقيلة المذكورة استخدام جهاز سحب الهواء (Sniffer Portable dust sampler) هو جهاز حقي استخدم في جمع عينات الدقائق العالقة والعناصر الثقيلة من موقع القياس وبوحدة (L/min) وهو من نوع (L-60) والمجهز من قبل شركة (Rotheroe & Mitchel Hd) الإنكليزية سنة ١٩٨٩ ، يتتألف من حامل المرشح (Filter Holder) دائري الشكل بقطر (6 cm) كما يحتوي الجهاز على مضخة لسحب الهواء وتفریغه ومقاييس لحجم جريان الهواء (Air Flowmeter) وهو قطعة شفافة من البلاستيك مدرجة ومحبطة في مقدمة الجهاز تحتوي على كرة حديدية صغيرة، يبلغ اقصى مقدر لجريان الهواء المسحوب من (40 - 45 L/min) . أما نوع المرشح المستخدم فهو مرشح سيليوزي من نوع Glass Fiber Filter whatman (50 mm وبقطر 50 mm) . وطريقة عمل هذا الجهاز هو ان يوضع في ارتفاع لا يقل عن ١،٥ متر (نطاق التنفس) لتحاشي الغبار المتطاير بفعل الرياح أو حركة السيارات والمارة، ولحساب تركيز الدقائق العالقة TSP اتبعت الخطوات الآتية :

يوزن المرشح قبل عملية سحب الهواء (W_i) بالغرامات بدقة .

^(*) تمثل الأحرف من (أ - ح) تركيز العنصر الملوث في المراكز الحضرية المدروسة خلال شهر كانون الثاني اذا (A = م.ق. الكوت ، B = م.ق. الحي ، C = م.ق. الصويرية ، D = م.ق. النعمانية ، E = م.ق. العزيزية ، F = م.ق. بدراة) . اما الأحرف من (خ - س) فانها تمثل تركيز العنصر الملوث خلال شهر تموز وهي (X = م.ق. الكوت ، Y = م.ق. الحي ، Z = م.ق. الصويرة ، H = م.ق. العزيزية ، S = م.ق. بدراة) وهذا ينطبق على جميع خرائط البحث .

جدول (١) الظروف الزمانية والمكانية لموقع اخذ عينات الهواء في المراكز الحضرية في محافظة واسط لشهرى كانون الثاني وتموز لعام ٢٠١٩

اسم القضاء	رقم العينة	موقع العينات	اسم محطات الرصد	وصف محطات الرصد	الإحداثيات (UTM)	موعد اخذ العينات	كانون الثاني	تموز	تاريخ ووقت الرصد	تاريخ ووقت الرصد
مركز قضاء الكوت	S1	حي المندسين		سكنية	38S 0575343 3598305	٢٠١٩/١/٢٢ ٩،٤٥ - ٨،٤٥ ص	٢٠١٩/٧/٣ ٧،٤٥ - ٨،٣٥ م / ص	٢٠١٩/١/٢٢ ٨،٤٥ - ٨،٣٥ ص	٢٠١٩/٧/٣ ٧،٣٠ - ٨،٣٠ م / ص	٢٠١٩/٧/٣ ٨،٣٥ - ٧،٤٥ م / ص
	S2	ساحة العامل		تجارية	38S 0577727 3595916	٢٠١٩/١/٢٢ ٩،١٠ - ١٠،١٠ ص	٢٠١٩/١/٢٢ ١٠،٣٥ - ١٠،٣٥ ص	٢٠١٩/٧/٣ ٧،٣٠ - ٨،٣٠ م / ص	٢٠١٩/٧/٣ ٨،٣٠ - ٧،٣٠ م / ص	٢٠١٩/٧/٣ ٧،٣٠ - ٨،٣٠ م / ص
	S3	حي السلام		سكنية	38S 0577808 3597295	٢٠١٩/١/٢٢ ١٠،٣٥ - ١٠،٣٥ ص	٢٠١٩/١/٢٢ ١١،٣٥ - ١١،٣٥ ص	٢٠١٩/٧/٣ ١٢،١٥ - ١٠،٥٥ م / ص	٢٠١٩/٧/٣ ٨،٥٥ - ٧،٤٥ م / ص	٢٠١٩/٧/٣ ٧،٤٥ - ٦،٣٥ م / ص
	S4	حي الجهاد		مختلطة (سكنية + تجارية)	38S 0576511 3593145	٢٠١٩/١/٢٢ ١٢،١٠ - ١١،١٠ م	٢٠١٩/١/٢٢ ١١،١٠ - ١٠،٥٥ م / ص	٢٠١٩/٧/٣ ٨،٥٥ - ٧،٤٥ م / ص	٢٠١٩/٧/٣ ٧،٤٥ - ٦،٣٥ م / ص	٢٠١٩/٧/٣ ٦،٣٥ - ٥،٣٥ م / ص
	S5	حي الحوراء		سكنية	38S 0578994 3594289	٢٠١٩/١/٢٢ ١٠،٣٥ - ٢،٣٥ م	٢٠١٩/١/٢٢ ٣،٣٥ - ٢،٣٥ م	٢٠١٩/٧/٣ ١٠،٥٥ - ١٠،٥٥ ص	٢٠١٩/٧/٣ ١٠،٥٥ - ١٠،٥٥ ص	٢٠١٩/٧/٣ ٦،٣٥ - ٥،٣٥ ص
	S6	حي الأنوار		مختلطة (سكنية + تجارية)	38S 0578740 3598223	٢٠١٩/١/٢٢ ٣،٣٠ - ٤،١٠ م	٢٠١٩/١/٢٢ ٤،١٠ - ٤،١٠ م	٢٠١٩/٧/٣ ١١،٢٠ - ١٢،٢٠ م	٢٠١٩/٧/٣ ١٢،٢٠ - ١١،٢٠ م	٢٠١٩/٧/٣ ١١،٢٠ - ١٠،٣٠ م
	S7	حي الزهراء		مرورية	38S 0576460 3598902	٢٠١٩/١/٢٢ ٤،٤٥ - ٥،٤٥ م	٢٠١٩/١/٢٢ ٥،٤٥ - ٤،٤٥ م	٢٠١٩/٧/٣ ٤،٤٥ - ٣،٣٥ م / ص	٢٠١٩/٧/٣ ٣،٣٥ - ٢،٣٥ م / ص	٢٠١٩/٧/٣ ٣،٣٥ - ٢،٣٥ م / ص
	S8	حي داموك (الصناعي)		صناعية	38S 0578305 3600374	٢٠١٩/١/٢٣ ١٠،١٠ - ٢،١٠ م	٢٠١٩/١/٢٣ ٢،١٠ - ٣،١٠ م	٢٠١٩/٧/٣ ٣،٣٥ - ٢،٣٥ م / ص	٢٠١٩/٧/٣ ٢،٣٥ - ١،٣٥ ص	٢٠١٩/٧/٣ ١،٣٥ - ٠،٣٥ ص
	S9	حي الشهداء		سكنية	38S 0577763 3601342	٢٠١٩/١/٢٣ ١٠،٠٠ - ١١،٠٠ ص	٢٠١٩/١/٢٣ ١١،٠٠ - ١٠،٠٠ ص	٢٠١٩/٧/٣ ٣،٣٥ - ٣،٣٥ م / ص	٢٠١٩/٧/٣ ٣،٣٥ - ٣،٣٥ ص	٢٠١٩/٧/٣ ٣،٣٥ - ٣،٣٥ ص
	S10	حي الحاجية		مختلطة (سكنية + تجارية)	38S 0575076 3599985	٢٠١٩/١/٢٣ ١١،٣٠ - ١٢،٣٠ م	٢٠١٩/١/٢٣ ١٢،٣٠ - ١١،٣٠ م	٢٠١٩/٧/٣ ٥،٥٥ - ٥،٥٥ م / ص	٢٠١٩/٧/٣ ٥،٥٥ - ٥،٥٥ م / ص	٢٠١٩/٧/٣ ٥،٥٥ - ٥،٥٥ م / ص
مركز قضاء الحي	S11	منطقة ام هليل		زراعية	38S 0571738 3600293	٢٠١٩/١/٢٣ ٣،٣٠ - ٤،٤٠ م	٢٠١٩/١/٢٣ ٤،٤٠ - ٣،٣٠ م	٢٠١٩/٧/٣ ٦،٦٥ - ٧،٦٥ م / ص	٢٠١٩/٧/٣ ٧،٦٥ - ٦،٦٥ م / ص	٢٠١٩/٧/٣ ٦،٦٥ - ٦،٦٥ م / ص
	S1	حي الحرية		سكنية	38S 0597364 3561165	٢٠١٩/١/٢١ ٩،٠٠ - ١٠،٠٠ ص	٢٠١٩/١/٢١ ١٠،٠٠ - ١١،٠٠ ص	٢٠١٩/٧/٢ ٩،١٥ - ١٠،١٥ ص	٢٠١٩/٧/٢ ٩،١٥ - ٩،١٥ ص	٢٠١٩/٧/٢ ٩،١٥ - ٩،١٥ ص
	S2	الحي العصري		سكنية	38S 0598636 3561061	٢٠١٩/١/٢١ ١٠،٢٥ - ١١،٢٥ ص	٢٠١٩/١/٢١ ١١،٢٥ - ١٢،٢٥ ص	٢٠١٩/٧/٢ ١٠،٣٥ - ١١،٣٥ ص	٢٠١٩/٧/٢ ١٠،٣٥ - ١١،٣٥ ص	٢٠١٩/٧/٢ ١٠،٣٥ - ١٠،٣٥ ص
	S3	سوق الحي		تجارية	38S 0599986 3559523	٢٠١٩/١/٢١ ١١،٤٠ - ١٢،٤٠ م	٢٠١٩/١/٢١ ١٢،٤٠ - ١١،٤٠ م	٢٠١٩/٧/٢ ٣،٣٥ - ٤،٤٠ م / ص	٢٠١٩/٧/٢ ٣،٣٥ - ٣،٣٥ م / ص	٢٠١٩/٧/٢ ٣،٣٥ - ٣،٣٥ م / ص
	S4	شارع المحطة		مختلطة (سكنية + مرورية)	38S 0599067 3559848	٢٠١٩/١/٢١ ١٠،٠٠ - ٢،٠٠ م	٢٠١٩/١/٢١ ٢،٠٠ - ١٠،٠٠ م	٢٠١٩/٧/٢ ١١،٥٠ - ١٢،٥٠ م	٢٠١٩/٧/٢ ١١،٥٠ - ١٢،٥٠ م	٢٠١٩/٧/٢ ١١،٥٠ - ١١،٥٠ م
	S5	المنطقة الصناعية		صناعية	38S 0598392 3558179	٢٠١٩/١/٢١ ٢،٠٠ - ٣،٢٠ م	٢٠١٩/١/٢١ ٣،٢٠ - ٢،٠٠ م	٢٠١٩/٧/٢ ١٠،١٠ - ٢،١٠ م / ص	٢٠١٩/٧/٢ ١٠،١٠ - ٢،١٠ م / ص	٢٠١٩/٧/٢ ١٠،١٠ - ٢،١٠ م / ص
	S6	حي سعيد		سكنية	38S 059988 3559532	٢٠١٩/١/٢١ ٣،٣٠ - ٤،٢٠ م	٢٠١٩/١/٢١ ٤،٢٠ - ٣،٣٠ م	٢٠١٩/٧/٢ ٢،٣٠ - ٣،٣٠ م / ص	٢٠١٩/٧/٢ ٢،٣٠ - ٣،٣٠ م / ص	٢٠١٩/٧/٢ ٢،٣٠ - ٢،٣٠ م / ص
مركز قضاء الصويرية	S7	منطقة الكرادة		زراعية	38S 0596740 3560384	٢٠١٩/١/٢١ ٤،٤٠ - ٥،٤٠ م	٢٠١٩/١/٢١ ٥،٤٠ - ٤،٤٠ م	٢٠١٩/٧/٢ ٥،٤٠ - ٥،٤٠ م / ص	٢٠١٩/٧/٢ ٥،٤٠ - ٥،٤٠ م / ص	٢٠١٩/٧/٢ ٥،٤٠ - ٥،٤٠ م / ص
	S1	تقاطع شارع المطار		مرورية	38S 478769 3643937	٢٠١٩/١/٢٤ ٩،٠٠ - ١٠،٠٠ ص	٢٠١٩/١/٢٤ ١٠،٠٠ - ١١،٢٠ ص	٢٠١٩/٧/٤ ٩،٠٠ - ١٠،٢٠ ص	٢٠١٩/٧/٤ ٩،٠٠ - ١٠،٢٠ ص	٢٠١٩/٧/٤ ٩،٠٠ - ١٠،٢٠ ص
	S2	حي الأسرة		سكنية	38S 479131 3644238	٢٠١٩/١/٢٤ ١٠،٢٥ - ١١،٢٥ ص	٢٠١٩/١/٢٤ ١١،٢٥ - ١٢،٢٥ ص	٢٠١٩/٧/٤ ١٠،٢٠ - ١١،٢٠ ص	٢٠١٩/٧/٤ ١٠،٢٠ - ١١،٢٠ ص	٢٠١٩/٧/٤ ١٠،٢٠ - ١١،٢٠ ص

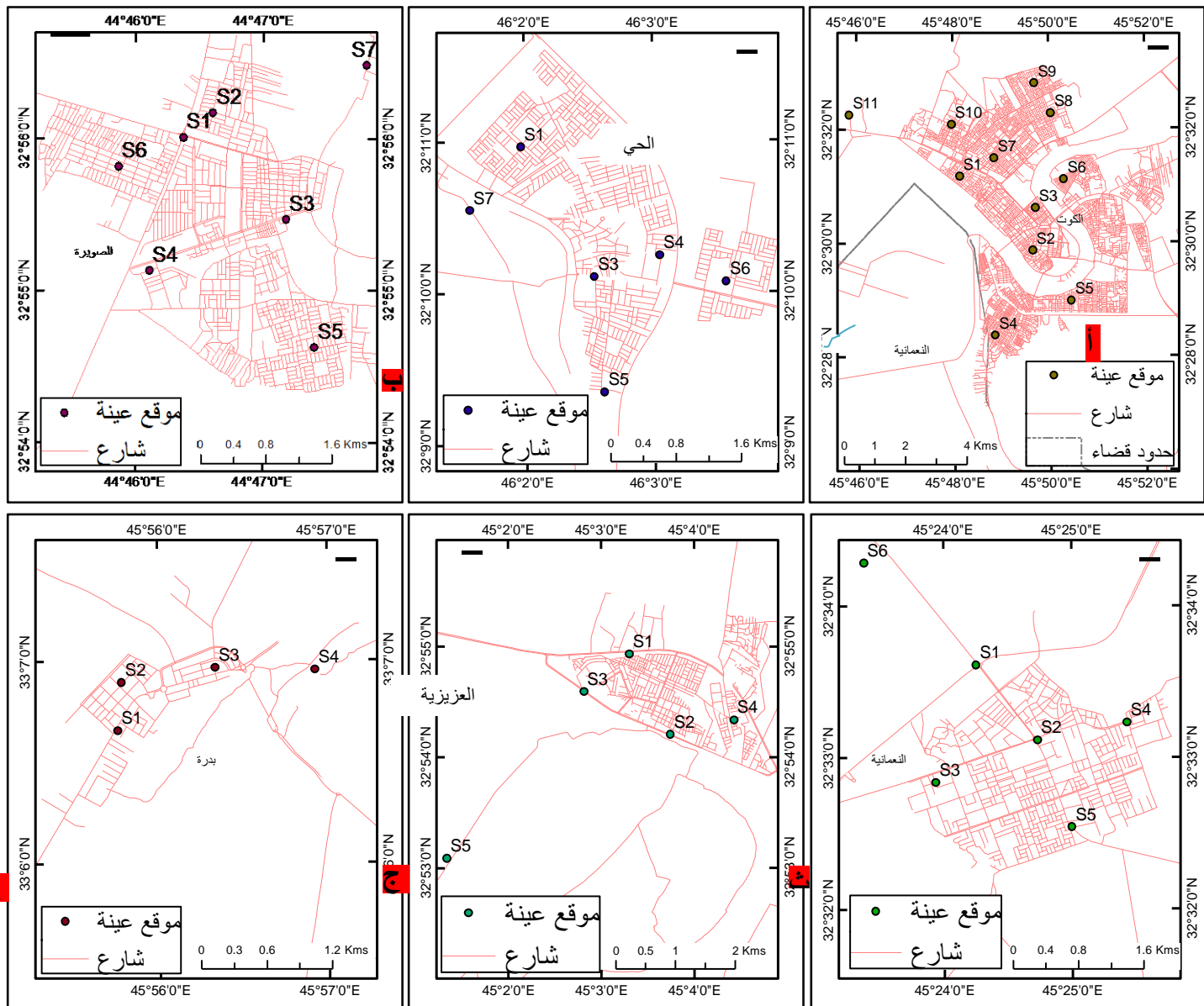


<p>٢٠١٩/٧/٤ ٢،٢٥ - ١،٢٥ م</p> <p>٢٠١٩/٧/٤ ٣،٤٥ - ٢،٤٥ م</p> <p>٢٠١٩/٧/٤ ٥،١٥ - ٤،١٥ م</p> <p>٢٠١٩/٧/٤ ٦،٥٥ - ٥،٥٥ م</p> <p>٢٠١٩/٧/٤ ١٢،٥٥ - ١١،٥٥ م</p> <p>٢٠١٩/٧/٥ ٣،٢٠ - ٢،٢٠ م</p> <p>٢٠١٩/٧/٥ ١١،٠٥ - ١٠،٠٥ ص</p> <p>٢٠١٩/٧/٥ ٩،٤٥ - ٨،٤٥ ص</p> <p>٢٠١٩/٧/٥ ١٢،٣٠ - ١١،٣٠ م</p> <p>٢٠١٩/٧/٥ ١،٥٠ - ١٢،٥٠ م</p> <p>٢٠١٩/٧/٥ ٥،٠٠ - ٤،٠٠ م</p> <p>٢٠١٩/٧/٧ ٩،٠٠ - ٩،٠٠ ص</p> <p>٢٠١٩/٧/٧ ١٠،٠٠ - ١٢،٠٠ م</p> <p>٢٠١٩/٧/٧ ٢،١٥ - ١،١٥ م</p> <p>٢٠١٩/٧/٧ ٣،٣٥ - ٢،٣٥ م</p> <p>٢٠١٩/٧/٧ ١١،٣٤ - ١٠،٣٤ ص</p> <p>٢٠١٩/٧/٦ ٩،٠٠ - ٩،٠٠ ص</p> <p>٢٠١٩/٧/٦ ٢،٠٠ - ١،٠٠ م</p> <p>٢٠١٩/٧/٦ ١١،٢٠ - ١٠،٢٠ ص</p> <p>٢٠١٩/٧/٦ ١٢،٣٥ - ١١،٣٥ م</p>	<p>٢٠١٩/١/٢٤ ١٢،٥٥ - ١١،٥٥ م</p> <p>٢٠١٩/١/٢٤ ٥،٢٠ - ٤،٣٠ م</p> <p>٢٠١٩/١/٢٤ ٣،٥٥ - ٣،٥٥ م</p> <p>٢٠١٩/١/٢٤ ٦،٤٥ - ٥،٥٥ م</p> <p>٢٠١٩/١/٢٤ ٢،٣٠ - ١،٣٠ م</p> <p>٢٠١٩/١/٢٥ ٤،١٠ - ٣،١٠ م</p> <p>٢٠١٩/١/٢٥ ١٠،٠٥ - ٩،٠٥ ص</p> <p>٢٠١٩/١/٢٥ ١،٠٥ - ١٢،٠٥ م</p> <p>٢٠١٩/١/٢٥ ٠،٣٠ - ١١،٣٠ ص</p> <p>٢٠١٩/١/٢٥ ٢،٣٠ - ١،٣٠ م</p> <p>٢٠١٩/١/٢٥ ٥،٣٥ - ٤،٤٥ م</p> <p>٢٠١٩/١/٢٨ ١٠،٠٠ ص</p> <p>٢٠١٩/١/٢٨ ١٢،٢٠ - ١١،٢٠ م</p> <p>٢٠١٩/١/٢٨ ١،٣٥ - ١٢،٣٥ م</p> <p>٢٠١٩/١/٢٨ ٣،٠٠ - ٢،٠٠ م</p> <p>٢٠١٩/١/٢٩ ٤،٤٥ - ٣،٤٥ م</p> <p>٢٠١٩/١/٢٩ ٤،٠٠ - ٣،٠٠ م</p> <p>٢٠١٩/١/٢٩ ١١،٠٥ - ١٠،٠٥ ص</p> <p>٢٠١٩/١/٢٩ ١٢،٣٠ - ١١،٣٠ م</p>	<p>38S 4780007 3643000</p> <p>38S 478350 3642319</p> <p>38S 480364 3641377</p> <p>38S 477973 3643583</p> <p>38S 481012 3644814</p> <p>38S 0537946 3602604</p> <p>38S 0538696 3601689</p> <p>38S 0537451 3601170</p> <p>38S 0539792 3601905</p> <p>38S 0539120 3600633</p> <p>38S 0536570 3603843</p> <p>38S 0505144 3641928</p> <p>38S 0505836 3640585</p> <p>38S 0504383 3641298</p> <p>38S 0506897 3640827</p> <p>38S 0502091 3638518</p> <p>38S 0586704 3663972</p> <p>38S 0586737 3664412</p> <p>38S 0587600 3663460</p> <p>38S 0588511 3664534</p>	<p>تجارية</p> <p>صناعية</p> <p>سكنية</p> <p>سكنية</p> <p>زراعية</p> <p>مرورية</p> <p>مختلطة (مرورية + صناعية)</p> <p>سكنية</p> <p>سكنية</p> <p>مختلطة (سكنية + مرورية)</p> <p>زراعية</p> <p>صناعية</p> <p>تجارية</p> <p>مختلطة (سكنية + مرورية)</p> <p>سكنية</p> <p>زراعية</p> <p>تجارية</p> <p>مختلطة (سكنية + مرورية)</p> <p>سكنية</p> <p>زراعية</p> <p>تجارية</p> <p>مختلطة (زراعية + سكنية)</p>	<p>سوق الصويرة</p> <p>الحي الصناعي</p> <p>حي الزهور</p> <p>الحي العسكري</p> <p>سدة بيت حسوني</p> <p>مدخل المدينة الشمالي</p> <p>تقاطع الكراج</p> <p>حي الألبان</p> <p>حي الخطيب</p> <p>حي الأسرى</p> <p>منطقة نل نوح</p> <p>الحي الصناعي</p> <p>سوق العزيزية</p> <p>مدخل المدينة الشمالي</p> <p>الحي العسكري</p> <p>منطقة الدير</p> <p>حي الزهراء</p> <p>حي الحسين</p> <p>سوق بدرة</p> <p>بدرة القديمة</p>	<p>S3</p> <p>S4</p> <p>S5</p> <p>S6</p> <p>S7</p> <p>S1</p> <p>S2</p> <p>S3</p> <p>S4</p> <p>S5</p> <p>S6</p> <p>S1</p> <p>S2</p> <p>S3</p> <p>S4</p> <p>S5</p> <p>S1</p> <p>S2</p> <p>S3</p> <p>S4</p>
<p>مركز قضاء النعمانية</p> <p>مركز قضاء العزيزية</p> <p>مركز قضاء بدرة</p>					

المصدر : الدراسة الميدانية واستخدام جهاز (GPS)



خريطة ٢ . أ - ح) مواقع عينات الهواء في المراكز الحضرية في محافظة واسط



. المصدر : الباحث بالاعتماد على الدراسة الميدانية واستخدام برنامج Arc GIS 10.7 .

● يوضع المرشح في الجهاز وتشغيله كهربائياً لمدة ساعة او اقل حيث تعمل مضخة الهواء على سحب حجم من الهواء يمر بالمرشح الليفي فتجمع نتيجة لذلك الدافع العلاقة على المرشح .

● يتم قياس معدل جريان الهواء المسحوب بوحدات اللتر / دقيقة (L/min). وتكون قراءة مباشرة من الجهاز عند بدء تشغيله (V_1) .

● بعد مرور ساعة (t = 60 min) على تشغيل الجهاز يتم قياس معدل جريان الهواء (V_2) بوحدات (L/min) وتكون قراءة مباشرة من الجهاز ايضاً . وبعد انتهاء عملية السحب يتم إطفاء الجهاز وإزالة المرشح ووضعه في طبق بلاستيكية (petri dish plastic) حيث تثبت عليه المعلومات (الموقع، وزن المرشح) .

● يوزن المرشح مرة اخرى بعد إتمام عملية سحب الهواء ويحدد وزنه مع محتوياته من الغبار العالق (W_f) بالغرامات .

● يتم حساب تركيز الدافع العلاقة في الهواء بوحدات المايكروغرام / م³ ($\mu\text{g}/\text{m}^3$) في كل موقع القياس بعد أن يتحول الوزن من الغرامات إلى وحدات مايكروغرام بالضرب في (10⁶) ويحول معدل الجريان من اللتر / دقيقة (L/min) إلى وحدات الحجم بالمتر المكعب (m³) وذلك بالقسمة على (1000) والمعادلات الآتية توضح هذه الحسابات :

$$TSP = \frac{Final\ Weight\ (Wf)g - Initial\ Weight\ (Wi)g \times 10^6}{Volume\ (V)t}$$

إذ إن :
TSP : تركيز الدقائق العالقة مقاسة بوحدة ميكروغرام / م³ .
(Wf) : وزن المرشح بعد السحب مقاس بوحدة الغرام .
(Wi) : وزن المرشح قبل سحب مقاس بوحدة الغرام .
(V)t : معدل تدفق الهواء (م³/دقيقة) X فترة أخذ العينات (دقيقة) .
10⁶ : التحويل من الغرام إلى ميكروغرام .
ويحسب حجم الهواء المسحوب V_T على وفق المعادلة الآتية :-

$$V_T = \left(\frac{V_1 + V_2}{2} \right) \times \frac{t}{1000}$$

إذ إن :

V_T : الحجم الكلي للهواء المسحوب بوحدة (m³) .
t : الزمن المستغرق للسحب (t = 60 min) .

تم عملية هضم وتهيئة المرشحات لغرض قياس تراكيز العناصر الثقيلة على وفق الطريقة الآتية :
+ يجف الفلتر بدرجة حرارة (60°C) لمدة ساعة واحدة لتخلص من الرطوبة .

+ يوضع الفلتر في بيكر من البولي إثيلين سعة (100 ml). ثم يضاف إليه خليط حامضي مكون من (HClO₄ + H₂SO₄ + 4HNO₃) بنسبة (5 : 2 : 1) (V/V) ثم يضاف إلى الخليط (0.5 ml) من حامض (HF) .
+ ينطى البيكر بزجاجة لمدة ساعة ثم يوضع في حمام مائي ساخن بدرجة حرارة (70°C) ولمدة (24) ساعة إلى أن يصبح محلول رائقاً ويذوب المرشح كلياً .

+ بعد التبريد ينقل ويرشح إلى دورق حجمي (Volumetric Flask) سعة (25 ml) ويختف إلى الحجم القياسي بوساطة الماء المقطر العالي النقاوه (اللايوني) إلى (50 ml) ثم تنقل بعدها إلى عبوات بلاستيكية نظيفة جداً وتغلق بأحكام .
+ تم القياس للمحلول النهائي بوساطة جهاز الامتصاص الذري Flame Atomic Absorption Spectrophotometer نوع (A shimadzu AA 670/Gu-7)، وعلى أطوال موجية (196.8, 213.9, 248.3, 285.2, 324.8 نانوميتر . وتحسب تراكيز العناصر الثقيلة في الهواء على وفق المعادلة الآتية :⁽⁴⁾

$$\text{Metal Concentration } (\mu\text{g}/\text{m}^3) = C \times \frac{V_i}{V_t}$$

C: تركيز العنصر في النموذج مقاس بوحدة (ملغم / كغم) .

Vi : حجم النموذج مقاس بوحدة المليتر ويساوي (50 مل) .

V_t : حجم الهواء الكلي المسحوب مقاس بالمتر المكعب (المعادلة السابقة) .

اما حساب النترات والكبريتات فقد تم بجهاز التحليل الطيفي او اللوني وعلى طول موجي 470 نانوميتر .

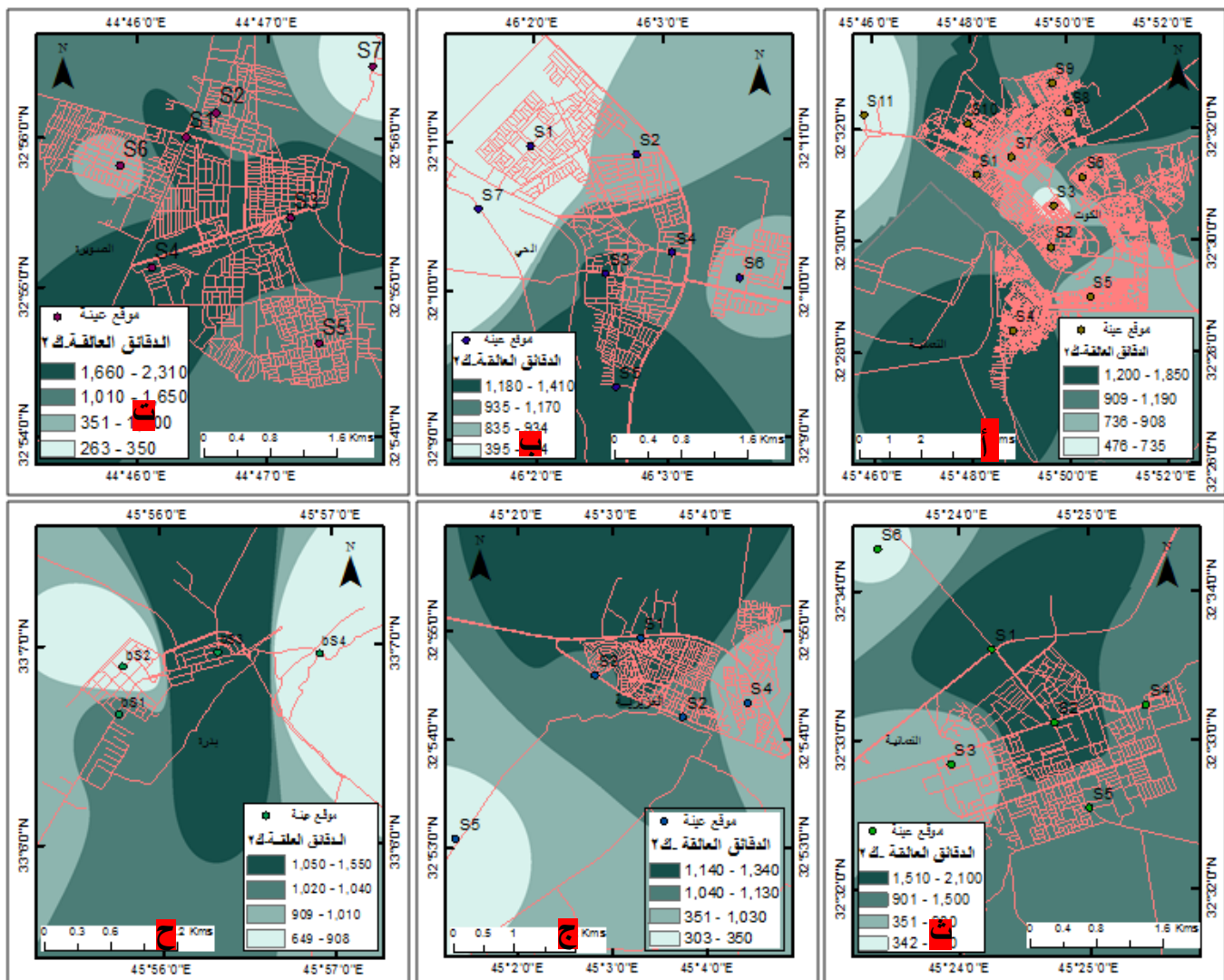
ثانياً: التباين المكاني والزمني لتراكيز الدقائق العالقة TSP

بعد الهواء نظيفاً وغير ملوث عندما تتراوح فيه تراكيز الدقائق العالقة بين (10 - 20 µg/m³) الا انه يصبح ملوثاً في التراكيز من (70 - 700 µg/m³). وبناءً على ذلك تحدد منظمة الصحة العالمية (WHO) التراكيز المسحوب بها للـ TSP بـ (150 µg/m³) اما المحدّدات الوطنية فتتّحدّد بـ (350 µg/m³) . غير ان نتائج الدراسة اظهرت ان تراكيز ومعدلات الدقائق الكلية العالقة (TSP) في هواء منطقة الدراسة قد تجاوزت محدودات منظمة الصحة العالمية في جميع مواقع الدراسة والمحدّدات الوطنية في معظمها، فضلاً عن تباين تراكيزها بشكل واضح مكانيًّا وزمانيًّا، اذ يلاحظ من الجدول (٢) والخريطة (٣ . أ - ح) ان تراكيزها خلال فصل الشتاء في قضاء الكوت قد تراوحت بين اعلى تركيز (1851.8 µg/m³) سجل في الموقع (S8) اذ يمثل هذا الموقعاً اكبر منطقة صناعية في المحافظة تنتشر فيها ورش الحداوة وتصليح السيارات . مقابل ادنى تركيز سجل في الموقع (S11) (476.1 µg/m³) وهي منطقة زراعية تقع شمال غرب المدينة . اما في قضاء الحي فقد تراوحت تراكيزها بين (1414.1 µg/m³) وهي اعلى تركيز لها سُجل في الموقع (S5) وهي ايضاً منطقة صناعية فضلاً عن انتشار ساحات بيع مواد البناء فيها واقل تركيز سُجل في الموقع (S7) (394.7 µg/m³) في قرية



الكرادة الزراعية غرب المدينة . في حين تراوحت تراكيز (TSP) في قضاء الصويرة بين ($2314.8 \mu\text{g}/\text{m}^3$) التركيز الاعلى والذي سجله الموقع (S3) مركز المدينة التجاري الرئيس و($263.1 \mu\text{g}/\text{m}^3$) وهو ادنى تراكيز قد سجل لها في الموقع (S7) وهي منطقة زراعية كثيفة بأشجار النخيل والحمضيات . فيما تراوحت تراكيز الدفائق العالقة في قضاء النعmaniye بين ($2098.7 \mu\text{g}/\text{m}^3$) وهي اعلى سجل في الموقع (S2) وهو تقاطع مروري قرب مراب المدينة الرئيس تنشط فيه حركة المرور فضلاً عن انتشار ورش تصليح السيارات . وادنى تراكيز (TSP) سُجل في الموقع (S6) شمال المدينة . وفي قضاء العزيزية تراوحت تراكيز (TSP) بين اعلى تراكيز ($1342.5 \mu\text{g}/\text{m}^3$) قد سجل في الموقع (S1) الصناعي فضلاً عن قربه من طريق السريع الرئيس بغداد - كوت اذ تنشط حركة مرور السيارات على مدار اليوم يقابلها ادنى تراكيز ($303 \mu\text{g}/\text{m}^3$) سجله الموقع (S5) المنطقه الزراعية غرب المدينة . اما في قضاء بدرة فتراوحت تراكيزها بين اعلى واقل تراكيز ($1552.5 , 649.3 \mu\text{g}/\text{m}^3$) سُجلت في المواقعين (S3 , S4) مركز المدينة ومدينة بدرة القديمة ذات الطابع الزراعي .

خريطة ٢ . أ - ح) التباين المكاني لتراكيز الدفائق العالقة (مايكروغرام/م³) في هواء منطقة الدراسة لشهر كانون الثاني



المصدر: بالاعتماد على بيانات الجدول (٢) واستخدام برنامج Arc GIS 10.7 .

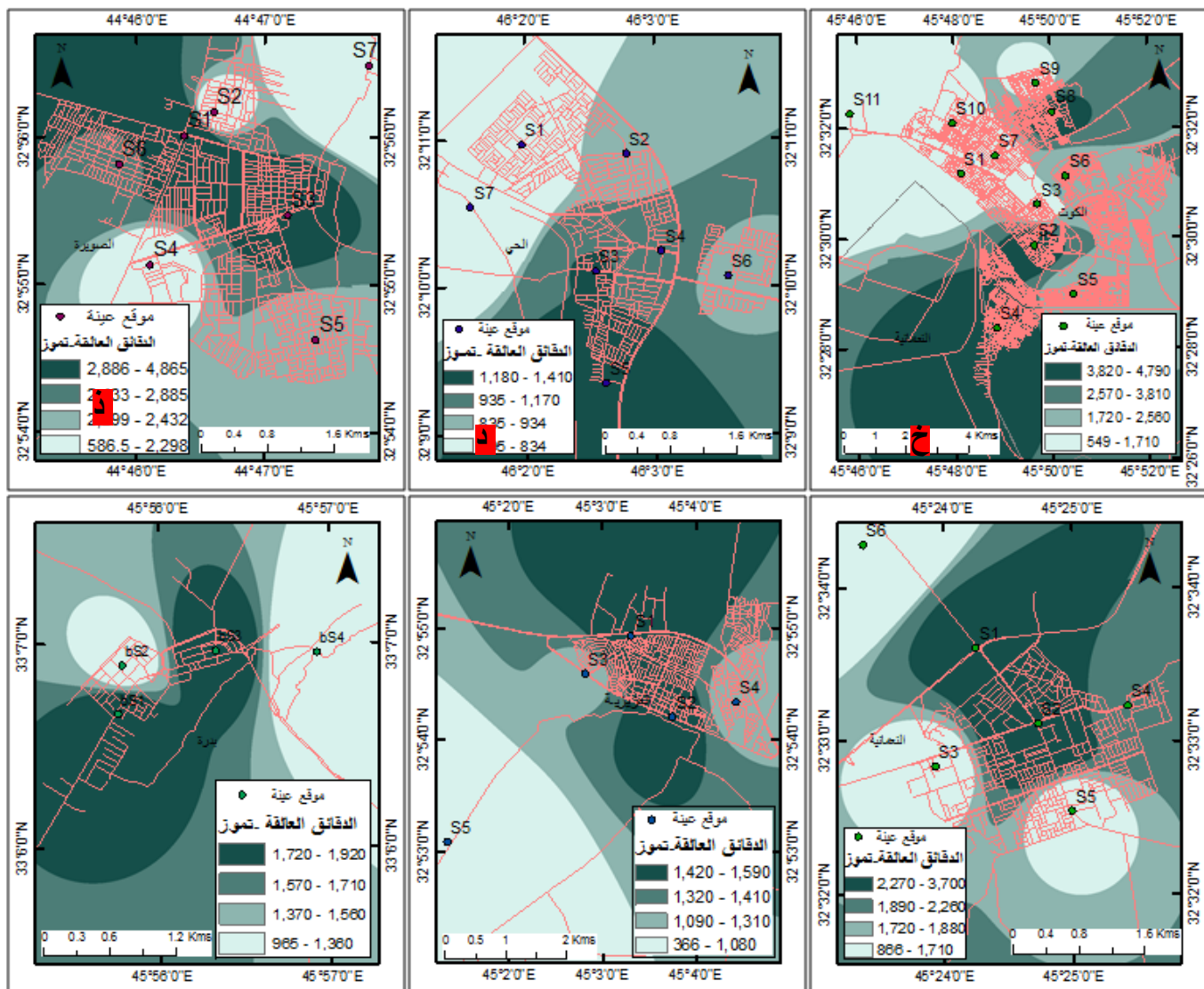
اما في فصل الصيف فقد ارتفعت تراكيز الدفائق العالقة في هواء منطقة الدراسة بشكل ملحوظ في جميع المواقع وهذا ما يمكن ملاحظته من الخريطة (٤ . خ - س) وذلك بسبب ارتفاع درجات الحرارة وزيادة سرعة الرياح ودورها في اثاره الاتربية والغبار وانعدام الامطار فضلاً عن تركز الأنشطة البشرية داخل المدن وقلة الطرق المعبدة كلها عوامل ساعدت على ارتفاع تراكيز (TSP) خلال هذا الفصل، اذ سجلت في قضاء الكوت اقصى تراكيز لها بلغ ($4787.6 \mu\text{g}/\text{m}^3$) في الموقع (S4) ذو الكثافة السكانية العالية والأنشطة التجارية الكثيفة يقابلها ادنى تراكيز ($549.4 \mu\text{g}/\text{m}^3$) سجل في الموقع (S11) .

فيما تراوحت تراكيز (TSP) في قضاء الحي بين (3063, 683.7 $\mu\text{g}/\text{m}^3$) وهي أعلى وأقل تركيز سجل في الموقعين على التوالي . أما في قضاء الصوير فتراوحت تراكيزها بين (4864.8 $\mu\text{g}/\text{m}^3$) وهو أعلى تركيز سجل في الموقع (S1) حيث نشاط لحركة المرور بشكل كثيف في هذا الموقع وهو تقاطع يربط محافظة بابل بمحافظتي واسط وبغداد فضلاً عن كونه غير معبد مما يشير الغبار بكثافة يقابلها أقل تركيز قد سجل في الموقع (S7) (586.5 $\mu\text{g}/\text{m}^3$) . في حين تراوحت تراكيز (TSP) في قضاء النعمانية بين أعلى وأدنى تركيز (3703.7, 865.8 $\mu\text{g}/\text{m}^3$) سجل في الموقعين (S2, S6).

ز

ر

خرائط (٤ - س) التباين المكاني لتراكيز الدائق العالقة ($\text{ميكروغرام}/\text{م}^3$) في هواء منطقة الدراسة لشهر تموز



المصدر: بالاعتماد على بيانات الجدول (٢) واستخدام برنامج Arc GIS 10.7

وفي قضاء العزيزية سجلت أعلى تركيز في الموقع (S1) (1587.9 $\mu\text{g}/\text{m}^3$) مقابل أدنى تركيز سجله الموقع (S5) (366.3 $\mu\text{g}/\text{m}^3$) أما في قضاء بدرة فتراوحت تراكيز (TSP) بين أقصى تركيز (1917.8 $\mu\text{g}/\text{m}^3$) سجل في الموقع (S1) مدخل المدينة حيث كثافة لحركة المرور لاسيما سيارات نقل المسافرين من وإلى ايران وشحنات نقل مواد البناء (الرمل والحصى) من المقلع المنتشرة في هذا القضاء فضلاً عن شاحنات نقل البضائع من ايران أما أدنى تركيز (964.6 $\mu\text{g}/\text{m}^3$) سجل في الموقع (S4) .

يؤثر وقت النمذجة في تركيز الدائق العالقة حيث ترتفع تراكيزها في فترة المساء لكثرة الحركة من أشخاص أو حركة السيارات والدراجات النارية وتقل في ساعات الصباح الأولى إذ يساعد انخفاض درجات الحرارة في هذا الوقت على ركود الملوثات وهبوط تراكيزها ويمكن ملاحظة ذلك من خلال المقارنة بين وقت اخذ النماذج وترابيز الدائق العالقة .

مجلة القادسية للعلوم الإنسانية - المجلد (23) العدد (3) السنة (2020)

٢٠١٩ وتموز كانون الثاني والثانية في محافظة لشهرى العاشر والحادي والعشرين من شهر تموز ٢٠١٩



مجلة القادسية للعلوم الإنسانية المجلد (23) العدد (3) السنة (2020)

						(0.25 µg/m³) (1996 WHO)			(6 µg/m³) (1996 WHO)			(0.2 µg/m³) (1996 WHO)			(0.04 µg/m³) (1996 WHO)			(0.05 µg/m³) (1996 WHO)			(٤/٢ µg/m³ ٣/١,٥ µg/m3) (٢٠١٢ Iraq)			٤ / ٣٥٠ µg / m³ (٢٠١٢ Iraq)			محددات البيئية المسموح بها				
35.18	41.8	28.56	14.48	19.5	9.47	8.00	10.25	5.76	1.18	1.46	0.91	6.86	8.31	5.41	0.215	0.43	Nil	0.91	0.51	1.31	0.17	0.34	Nil	0.15	0.3	Nil	334.6	366.3	303	قرية الديز S5	
36.61	42.5	30.72	18.01	17.98	10.84	19.83	27.82	11.84	1.74	2.23	1.25	9.06	9.10	9.01	0.35	0.52	0.17	1.23	1.58	0.87	0.275	0.406	0.144	1.58	1.35	1.81	1081.36	1201	961.74	المعدل	
37.49	41.9	33.08	18.74	13.8	11.84	12.78	16.21	9.35	1.60	1.35	1.86	9.205	8.03	10.38	0.29	0.44	0.14	1.57	2.57	0.57	0.26	0.36	0.16	1.27	2.09	0.45	1476.9	1917.8	1036	حي الزهراء S1	
38.36	42.6	34.13	11.8	11.5	12.10	7.82	8.34	7.30	1.56	1.31	1.82	9.56	7.96	11.16	0.245	0.49	Nil	0.845	1.69	Nil	0.17	0.34	Nil	0.765	1.53	Nil	1008.7	1228	789.4	حي الحسين S2	
37.84	40.5	35.18	11.51	10.8	12.22	31.57	39.47	23.67	3.31	3.07	3.56	7.82	4.77	10.87	0.89	1.07	0.71	1.895	2.81	0.98	0.45	0.65	0.25	1.86	3.11	0.61	سوق بدرة S3	1722.1	1891.8	1552.5	
41.85	47.8	35.91	16.13	19.4	12.86	12.11	13.24	10.99	1.69	1.82	1.57	9.645	11.41	7.88	0.39	0.54	0.24	1.455	2.91	Nil	0.24	0.33	0.15	1.675	2.97	0.38	بدرة القديمة S4	807.1	964.9	649.3	
38.88	43.2	34.57	14.54	13.87	12.25	16.07	19.31	12.82	2.04	1.88	2.20	9.05	8.04	10.07	0.45	0.63	0.27	1.44	2.49	0.38	0.28	0.42	0.14	1.39	2.42	0.36	المعدل	1253.7	1500.6	1006.8	
						(0.25 µg/m³) (1996 WHO)			(6 µg/m³) (1996 WHO)			(0.2 µg/m³) (1996 WHO)			(0.04 µg/m³) (1996 WHO)			(0.05 µg/m³) (1996 WHO)			(٤/٢ µg/m³ ٣/١,٥ µg/m3) (٢٠١٢ Iraq)			٤ / ٣٥٠ µg / m³ (Iraq)			المحددات البيئية المسموح بها				

المصدر : ١ - الدراسة الميدانية واستخدام جهاز قياس الدقائق العالقة (Sniffer) لاستخلاص العناصر الثقيلة المرتبطة بالمرشحات .

٢ - نتائج التحليل المختبري لعينات مرشحات (فلاتر) الهواء، كلية الزراعة ، جامعة الكوفة، مختبر كيمياء التربية .

٣- مديرية بيئة واسط، شعبة البيئة الحضرية، مختبر الهواء، لائحة المحددات الوطنية والعالمية لنوعية الهواء المحيط، ٢٠١٢ .

4- Enas Hadi Shaker, Environmental Impact Assessment of Brick Industry at Abu Smeache Area, Southwest Babylon Governorate – Iraq, A thesis Master, College of Science, University of Baghdad, 2019 .

- معدل الفصلين = تباين زمني

- المعدل = تباين مكاني



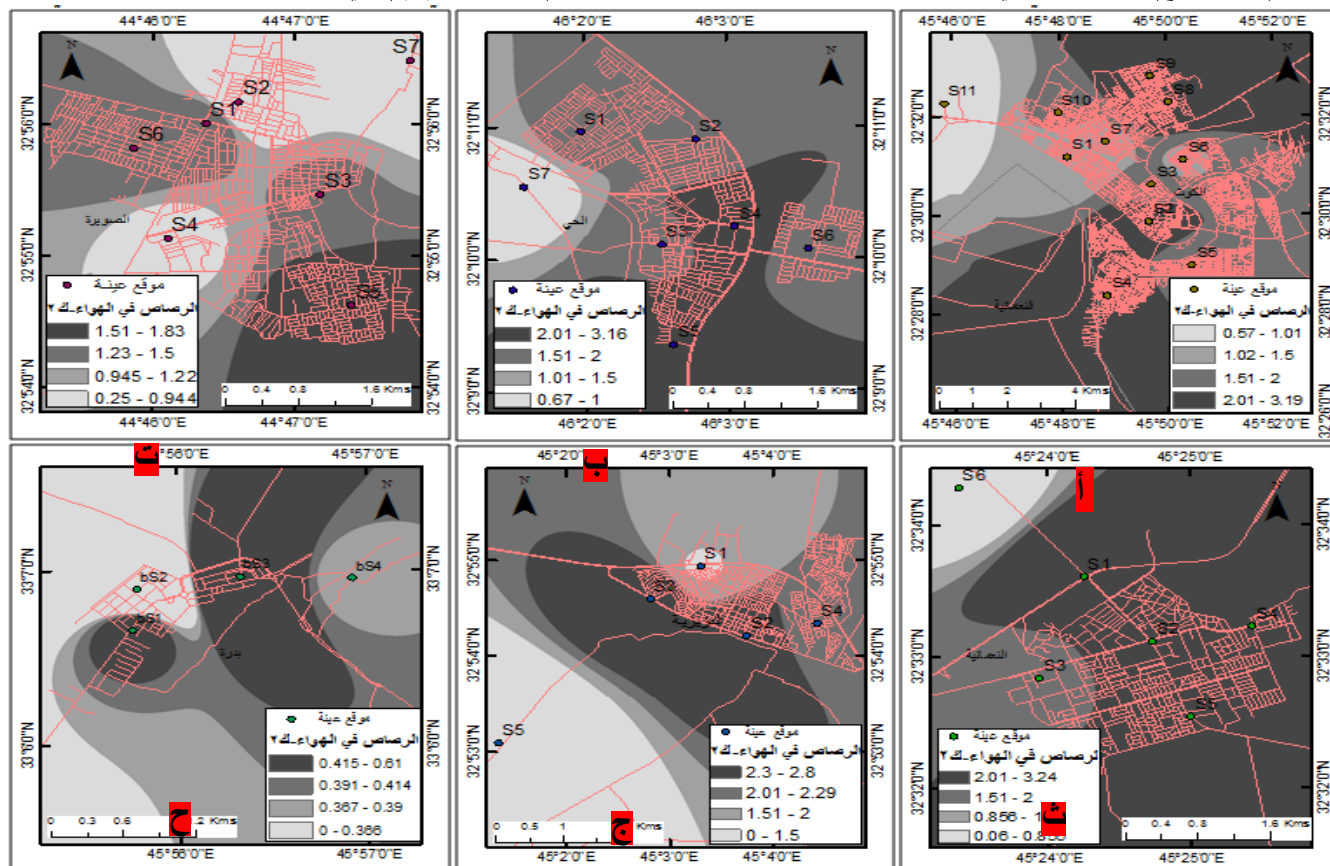
ثالثاً : التباين المكاني والزمني لتركيز العناصر الثقيلة

أولاً : عنصر الرصاص Pb

تتراوح تركيز الرصاص الطبيعي في الغلاف الجوي بين ٠٠٥ - ٦٠ نانوغرام / م³ كما تقدر تركيزه في هواء المناطق الريفية غير الملوثة بين ٠٠٥ - ١٠ ميكروغرام / م³.^(vii) الا ان هذه التركيزات تتراوح كثيراً في أجواء المدن اذ تساهُل وسائل النقل ونتيجة لاحراق الوقود بحوالى ٩٠ % من مدخلات الرصاص الى الهواء في البيئات الحضرية.^(viii)

اظهرت نتائج حساب تركيز عنصر الرصاص المرتبط بالدقائق العالقة في هواء منطقة الدراسة وجود تباين مكاني - زماني واضح في مستويات تركيزه حيث يلاحظ من الجدول (٢) والخريطة (٥ . أ - ح) ان تركيزه خلال فصل الشتاء (شهر كانون الثاني) قد تراوحت بين (3.19 μg/m³) كأعلى تركيز سجل في الموقع (S8) وادنى تركيز سجله الموقع (S11) (0.57 μg/m³) وعند مقارنة تركيز الرصاص مع المحددات المحلية المسحوم بها وبالبالغة (2 μg/m³) لفترة تعرض ٢٤ ساعة، نجد أن اغلب المواقع سجلت تركيزاً ضمن المحددات البيئية فيما تجاوزت تركيزات المحددات البيئية في المواقع (S2 , S4 , S8 , S9). وذلك لكثافة وسائل النقل العام والخاص في هذه المواقع ورداة الوقود وانتشار ساحات وقوف السيارات وورش التصليح وعمليات حرق القمامه وانتشار المولدات الكهربائية داخل المناطق السكنية ساعد على زيادة مستويات الرصاص في الهواء . اما في قضاء الحسين فقد تراوحت تركيزاته بين (0.67 - 3.16 μg/m³) وهو اعلى تركيز سجل في الموقع (S5) يقابل اقل تركيز (0.67 μg/m³) سجل في الموقع (S7) وهو بذلك ضمن المحددات البيئية المسحوم بها فضلاً عن المواقع (S1, S2, S3, S6) هي الأخرى كانت ضمن المحددات البيئية .

خرائط (٥ . أ - ح) التباين المكاني لتركيز الرصاص المرتبط بالدقائق العالقة (ميكروغرام/م³) في هواء منطقة الدراسة لشهر



كانون الثاني

المصدر: بالأعتماد على بيانات الجدول (٢) واستخدام برنامج Arc GIS 10.7 .

فيما تراوحت تراكيزه في قضاء الصويره بين ($0.25 \mu\text{g}/\text{m}^3$, $0.25 \mu\text{g}/\text{m}^3$, $1.83 \mu\text{g}/\text{m}^3$) وهي اعلى وادنى تراكيز سجلت في الموقعين (S5 , S7) على التوالي علماً ان تراكيز الرصاص كانت جميعها ضمن المحددات البيئية المسموح بها . وفي قضاء النعمنية سجل الموقع (S1) اعلى ترکیز بلغ ($3.24 \mu\text{g}/\text{m}^3$) مقارنة بالموقع (S6) الذي سجل الترکیز الادنى ($0.06 \mu\text{g}/\text{m}^3$. وهو بذلك ضمن المحددات البيئية والموقع (S3) في حين تجاوزت تراكيزه المحددات البيئية المسموح بها في المواقع الاخرى . اما في قضاء العزيزية فقد سجل الموقع (S2) اعلى ترکیز وهو ($2.80 \mu\text{g}/\text{m}^3$) فيما كانت تراكيزه دون حد الكشف في الموقع (S5) بمعنى انه بالإضافة الى الموقع (S1) لم يتجاوزا المحددات البيئية . في حين سجل الموقع (S3) في قضاء بدرة اعلى ترکیز بلغ ($0.61 \mu\text{g}/\text{m}^3$) بينما كان تراكيزه دون حد الكشف في الموقع (S2) كما كانت جميع التراكيز ضمن المحددات البيئية المحلية المسموح بها.

اما في فصل الصيف (شهر تموز) فقد ارتفعت تراكيز الرصاص في معظم مواقع الدراسة وذلك بسبب زيادة كميات الوقود المستهلك كوقود للسيارات والمولدات والاشطهة الاخرى في هذا الفصل فضلا عن تأثير بعض العناصر المناخية لاسيما درجة الحرارة والرياح التي تعمل على اعادة تعليق الغبار الحاوي على الرصاص في الهواء لذا يلاحظ من الخريطة (٦ . خ - س) ان تراكيز الرصاص خلال هذا الفصل أخذت مساراً مغايراً عما كانت عليه في فصل الشتاء، ففي قضاء الكوت تراوحت تراكيز الرصاص بين ($3.83 \mu\text{g}/\text{m}^3$) كأعلى ترکیز سُجل في الموقع (S8) مقابل اقل ترکیز سُجل في الموقع (S11) ($0.36 \mu\text{g}/\text{m}^3$) فقط كانت ضمن $\mu\text{g}/\text{m}^3$ وعند مقارنة تراكيزه مع المحددات البيئية نجد ان الموقع (S1 , S3 , S5 , S6 , S10 , S11) . اما في قضاء الحي فتراوحت تراكيزه بين ($0.49 \mu\text{g}/\text{m}^3$, $4.05 \mu\text{g}/\text{m}^3$) وهي اعلى وادنى ترکیز سُجل في الموقعين (S5 , S7) على التوالي . كما تبين ايضاً ان ثالث موقع فقط كانت تراكيزه فيها ضمن المحددات البيئية المسموح بها وهي (S1 , S5 , S6) . فيما تراوحت تراكيزه في قضاء الصويره بين ($3.09 \mu\text{g}/\text{m}^3$) وهو اعلى ترکیز سُجله الموقع (S1) واقل ترکیز ($0.44 \mu\text{g}/\text{m}^3$) سُجل في الموقع (S7) . وبمقارنة تراكيزه مع المحددات البيئية يلاحظ انه تجاوز المحددات في موقعين فقط وهما (S1 , S2) . اما في قضاء النعمنية فقد سُجل في الموقع (S2) اعلى ترکیز بلغ ($4.46 \mu\text{g}/\text{m}^3$) بينما كان تراكيزه دون حد الكشف في الموقع (S3) كما كانت تراكيزه ضمن المحددات البيئية في اربع مواقع هي (S3 , S4 , A5 , S6) . وفي قضاء العزيزية سُجل الموقع (S2) اعلى ترکیز بلغ ($2.64 \mu\text{g}/\text{m}^3$) فيما لم يسجل اي ترکیز في الموقع (S4) فضلاً عن تراكيزه كانت ضمن المحددات البيئية في الموقع (S3 , A4 , S5) . اما في قضاء بدرة فقد تراوحت تراكيزه بين ($2.64 \mu\text{g}/\text{m}^3$) وهو اعلى ترکیز سُجل في الموقع (S3) يقابلته ادنى ترکیز سُجل في الموقع (S2) وهو الموضع الوحيد الذي كانت تراكيزه ضمن المحددات البيئية المسموح بها .

يلحظ مما تقدم ان تراكيز الرصاص الاعلى سُجلت في المواقع الصناعية والمرورية فيما انخفضت تراكيزه في المواقع الاخرى مما يدل على اثر وسائل النقل في زيادة مطلقات الرصاص فعندما ابعاذه من عوادم السيارات في صورة بروميد الرصاص يظل عالقا في الهواء لمدة طويلة على شكل غمامه ضبابية تخيم فوق أجواء المنطقة .

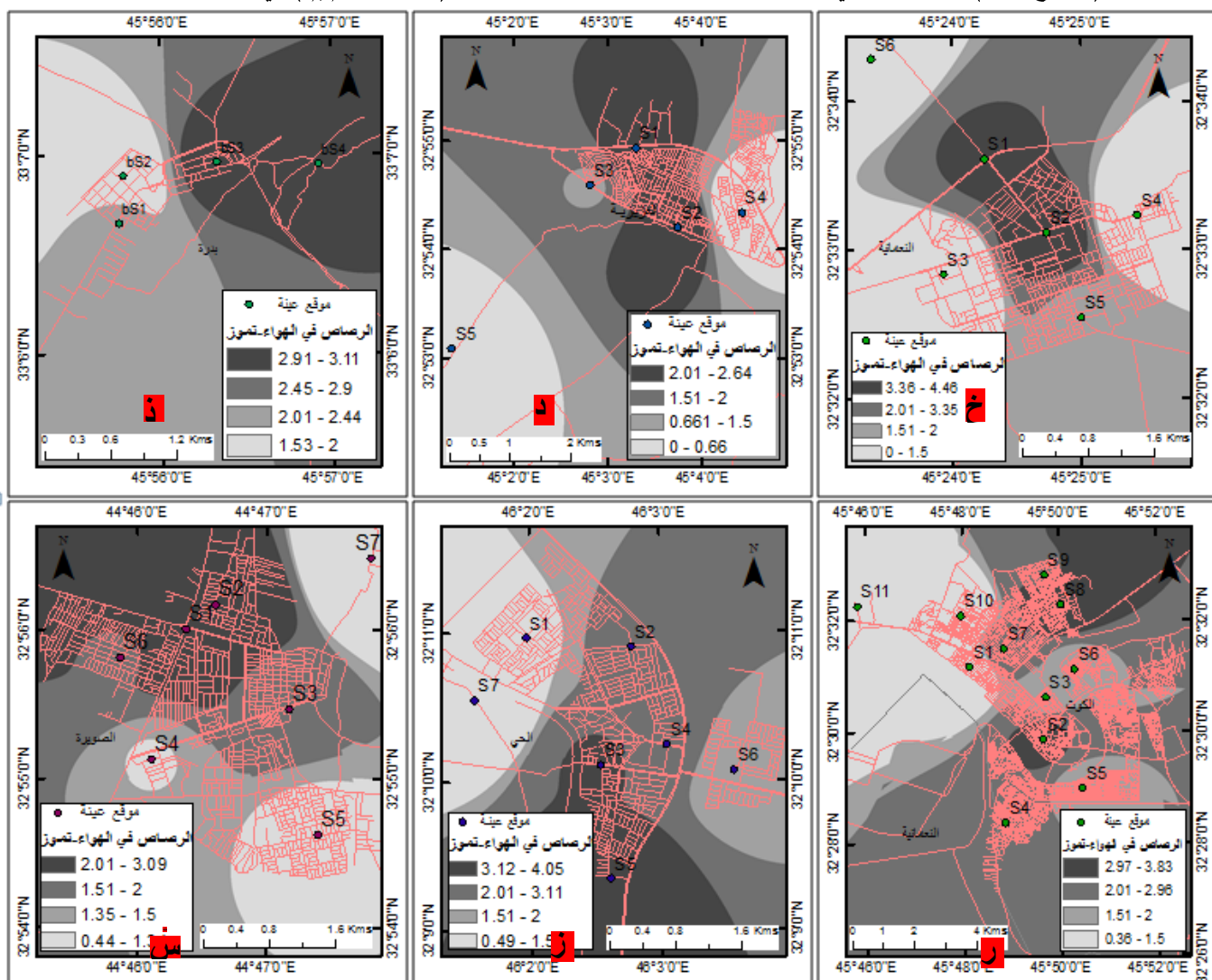
ثانياً : عنصر الكادميوم Cd

يعد الكادميوم أحد أكثر العناصر سمية في البيئة ويمثل احتراق الوقود والتعدين ومعالجة السبائك والصناعات التي تستخدم Cd كأصباغ اهم مصادر ابعاذهاته في المراكز الحضرية اذ تتراوح تراكيزه في هواء المدن بين ($0.01 - 0.35 \mu\text{g}/\text{m}^3$) ، مع تراكيزات أعلى في المدن الصناعية^(viii).

أشارت نتائج حساب تراكيز عنصر الكادميوم المرتبطة بدقيقة الغبار العالقة انها تتباين مكانياً و زمنياً اذ يظهر من الجدول (٢) والخريطة (٧ . أ - ح) ان ادنى الترکیز سُجلت خلال فصل الشتاء في قضاء الكوت سُجل الموضع (S8) اعلى ترکیز بلغ ($0.31 \mu\text{g}/\text{m}^3$) فيما كانت هناك اربع مواقع دون حد الكشف وهي (S3 , S7 , S10 , S11) وعند مقارنة تراكيزه المسجلة في المواقع الاخرى مع محددات منظمة الصحة العالمية (WHO 1996) وبالبالغة ($0.05 \mu\text{g}/\text{m}^3$) نجد ان تلك المواقع جميعها قد تجاوزت تلك المحددات . اما في قضاء الحي فقد سُجل الموضع (S5) اعلى ترکیز للكادميوم في حين كانت تراكيزه دون حد الكشف في المواقعين (S2 , S7) و اذا ما قورنت تراكيزاته في المواقع الاخرى مع المحددات البيئية فنجد انها كانت فوق المحدد

المسموح بها . وفي قضاء الصويره سجل الموقعين (S1 , S4) و هو ($0.21 \mu\text{g}/\text{m}^3$) لكل منها، بينما كانت تراكيزه في الموقعين (S6 , S7) دون حد الكشف والموقع (S2) الوحيد كانت تركيزاته ضمن المحددات البيئية . اما في قضاء النعانية فقد سجل للكاديوم تراكيزات في ثلث مواقع فقد جميعها تجاوزت محددات منظمة الصحة العالمية اعلى تركيز 0.25 ($\mu\text{g}/\text{m}^3$) سجله الموقع (S2) المنطقه الصناعية والمروريه الكثيفه في المقابل كانت تراكيزه دون حد الكشف في المواقع (S3 , S4 , S6) . وفي قضاء العزيزية سجل اعلى تركيز في

خربيطة (٦ . خ-س) التباين المكاني لتراكيز الرصاص المرتبط بالدائقن العالقة (مايكروغرام/م³) في هواء منطقة الدراسة



شهر تموز

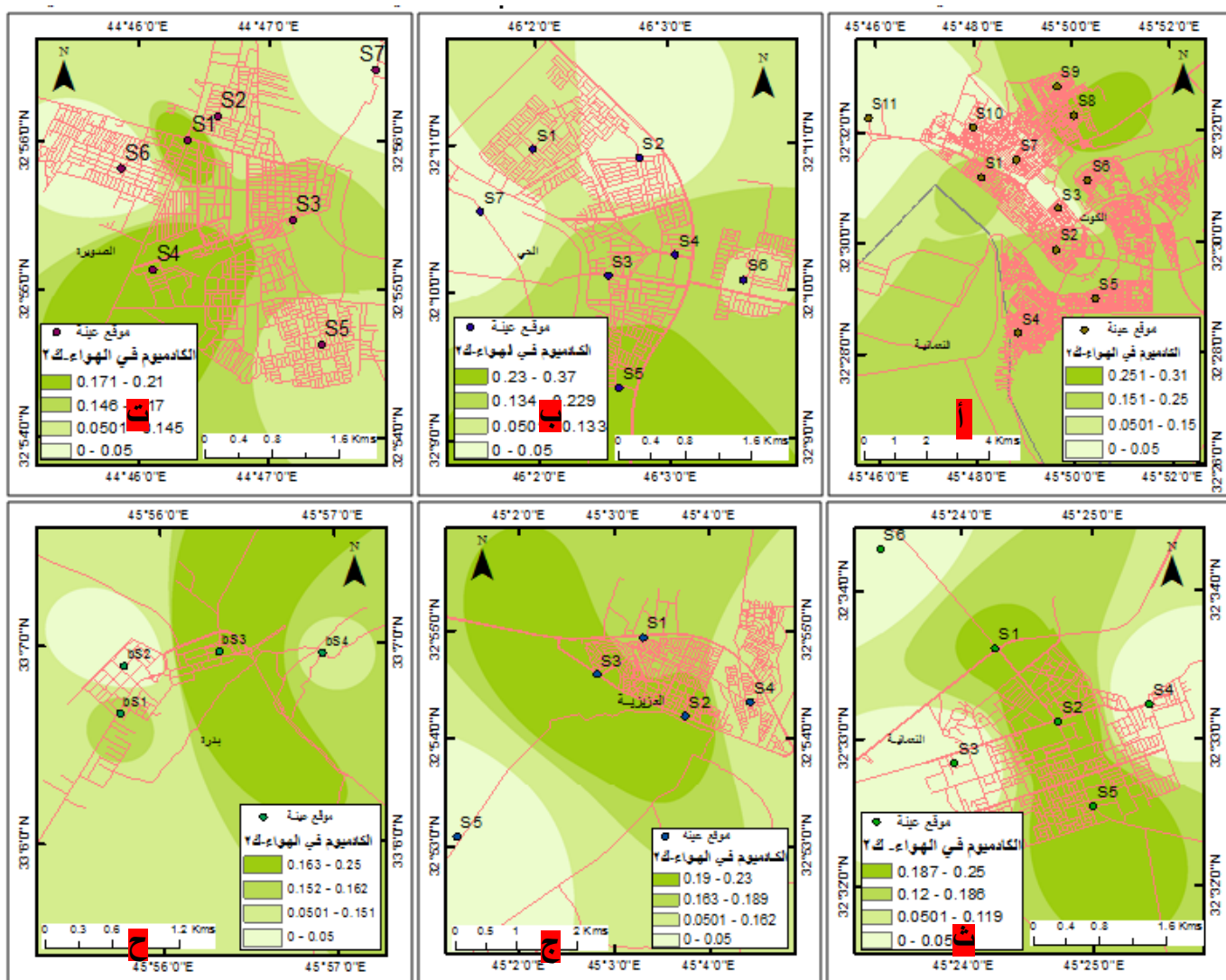
المصدر: بالاعتماد على بيانات الجدول (٢) واستخدام برنامج Arc GIS 10.7 .

الموقع (S3) بلغ ($0.23 \mu\text{g}/\text{m}^3$) علما ان جميع المواقع تجاوزت تراكيزها المحددات البيئية باستثناء الموقع (S5) حيث كانت تراكيزه دون حد الكشف . ونفس الحال ينطبق على قضاء بدرة الذي تجاوزت فيه تراكيز الكادميوم محددات منظمة الصحة العالمية في جميع المواقع سجل اعلاها الموقع (S3) اعلى تركيز وهو ($0.25 \mu\text{g}/\text{m}^3$) مستثنى من ذلك الموقع (S2) اذ كانت تركيزاته دون حد الكشف .

اما في فصل الصيف فلجفاف التربة والظروف المناخية وزيادة النشاطات البشرية ساعد على تسجيل اعلى التركيزات للكادميوم في هذا الفصل كما يلاحظ من الخريطة (٨ - خ - س) وجود تغير في تركيزاته على مستوى المواقع في كل قضاء . وعلى ذلك تراوحت تراكيزه في قضاء الكوت بين ($0.46 \mu\text{g}/\text{m}^3$) وهو اعلى تركيز سجله الموقع (S8) واقل تركيز سجله الموقع (S11) بلغ ($0.22 \mu\text{g}/\text{m}^3$) . اما في قضاء الحي فقد سجل اعلى تركيز في الموقع (S5) بلغ ($0.86 \mu\text{g}/\text{m}^3$) اذ يلاحظ انه ارتفع كثيراً في هذا الموقع مقارنة بالموقع الاخرى والذي يمثل المنطقة الصناعية الرئيسية وانتشار لورش الحداده والصباغه بالإضافة الى انتشار ساحات بيع المواد البناء فضلاً وقوع قضاء الحي تحت تأثير معامل الطابوق التي تقع شمال المدينة علما انها ونتيجة للتلوث العرجاني للمدينة دخلت تلك المعامل ضمن التصميم الاساس . فيما سجل الموقع (S7) ادنى تركيز بلغ ($0.17 \mu\text{g}/\text{m}^3$) . وفي قضاء الصويره تراوحت تراكيز الكادميوم بين ($0.33 \mu\text{g}/\text{m}^3$, $0.56 \mu\text{g}/\text{m}^3$) وهي اعلى وادنى تركيز سُجلت في المواقعين (S3 , S7) على التوالي . فيما تراوحت تراكيزه في قضاء النعيماني بين ($0.26 \mu\text{g}/\text{m}^3$ و $0.48 \mu\text{g}/\text{m}^3$) وهو اعلى تركيز سجله الموقع (S2) وكأقل تركيز سجل في الموقع (S6) . اما تراكيزه في قضاء العزيزية فقد تراوحت ما بين اعلى تركيز ($0.47 \mu\text{g}/\text{m}^3$) سجل في الموقع (S1) واقل تركيز ($0.34 \mu\text{g}/\text{m}^3$) سُجل في الموقع (S5) . في حين سجل اعلى تركيز للكادميوم في قضاء بدرة في الموقع (S3) بلغ ($0.65 \mu\text{g}/\text{m}^3$) يقابل ادنى تركيز سجل في الموقع ($0.33 \mu\text{g}/\text{m}^3$) . وعند مقارنة تراكيز الكادميوم خلال فصل الصيف مع المحددات البيئية المسموح بها، نجد انها تجاوزت محددات منظمة الصحة العالمية في جميع المواقع مع وجود نقارب نسبي في تركيزاته ويمكن ان يعزى سبب في ذلك الى نفس العوامل التي أثرت في تراكيز الرصاص .



خرطة .٧ - ح) التباين المكاني لتركيز الكادميوم المرتبط بال دقائق العالقة (مايكروغرام/م³) في هواء منطقة الدراسة لشهر



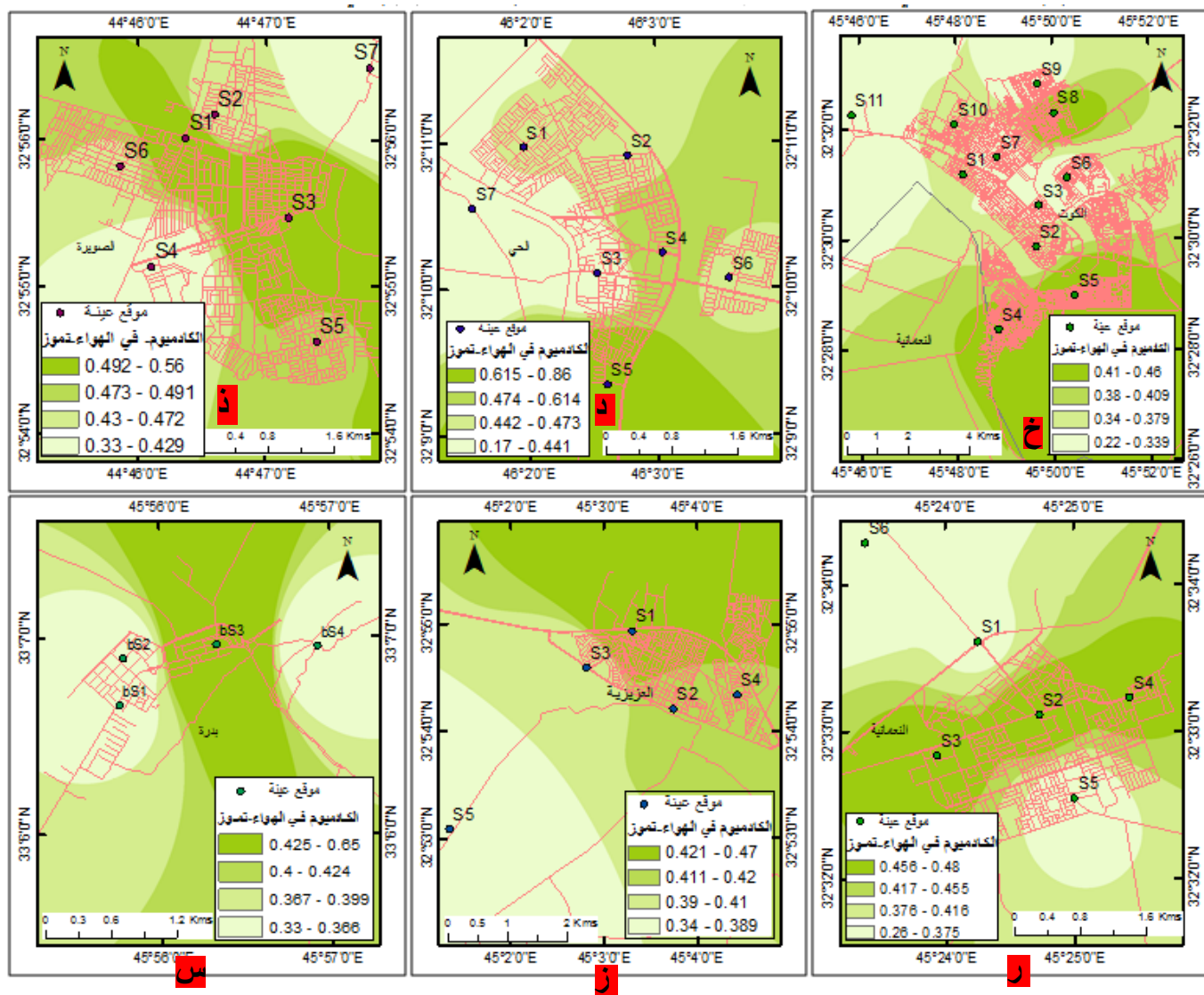
كانون الثاني

المصدر: بالأعتماد على بيانات الجدول (٢) واستخدام برنامج Arc GIS 10.7

ثالثاً : عنصر الكروم Cr

يتواجد عنصر الكروم في كل مكان من الطبيعة وفي الهواء المحيط تتراوح تراكيزه الطبيعية بين ٥ - ٢٠٠ نانوغرام/ م³ وقد أظهرت انظمة مراقبة الهواء المحيط خلال الفترة ١٩٧٧ - ١٩٨٠ في العديد من المناطق الحضرية والريفية في الولايات المتحدة الأمريكية وعلى مدار ٢٤ ساعة ان تركيزات الكروم تتراوح من ٥،٢ نانوغرام/ م³ إلى ١٥٦،٨ نانوغرام/ م³ (كمتوسط سنوي لتركيزاته في مراكز الحضرية) كما تم تقديم عدة انتصاف لمستويات الكروم في الدول الأعضاء في الاتحاد الأوروبي في مسح حديث وعلى النحو التالي: في المناطق النائية (٣٠ - ٣٠ نانوغرام/ م³) وفي المناطق الحضرية (٤٠ - ٧ نانوغرام/ م³) وفي المناطق الصناعية (٥ - ٢٠٠ نانوغرام/ م³).^(ix)

خرطة .٨ .خ - س) التباین المکانی لترکیز کادمیوم المرتبط بالدفائق العالقة (مايكروغرام/م³) فی هواء منطقه



الدراسة لشهر تموز

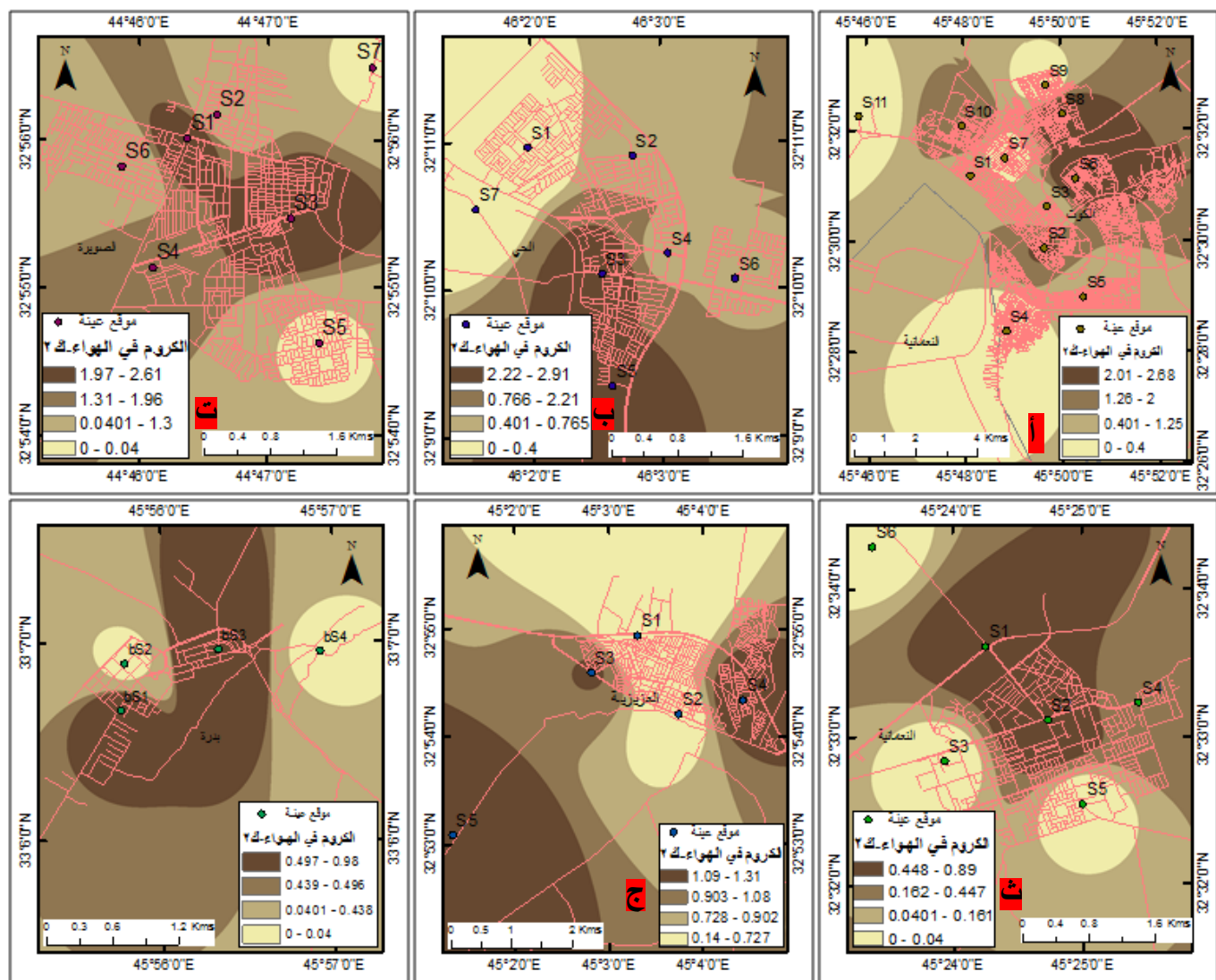
المصدر: بالاعتماد على بيانات الجدول (٢) واستخدام برنامج Arc GIS 10.7

يظهر من نتائج حساب تراكيز عنصر الكروم المرتبط في الدفائق العالقة في هواء منطقة الدراسة انها تتباين مكانيًا وزمانيًا اذ سُجلت اعلى الترکیزات خلال فصل الصيف مقارنًا بفصل الشتاء فعند ملاحظة الجدول (٢) والخریطة (٩ .أ - ح) تبين ان اعلى ترکیز خلال فصل الشتاء سُجل في قضاء الكوت في الموقع (S8) بلغ ($2.68 \mu\text{g}/\text{m}^3$) في المقابل كانت ترکیزاته دون حد الكشف في الموقع (S11) علما ان هذا الموقع والموقع (S4) فقط كانت ترکیزاته ضمن محدّدات منظمة الصحة العالمية (WHO) والبالغة ($0.04 \mu\text{g}/\text{m}^3$). اما في قضاء الحي فقد سُجل الموقع (S2) اعلى ترکیز بلغ ($2.91 \mu\text{g}/\text{m}^3$) فيما كانت ترکیزاته دون حد الكشف في الموقع (S7) وعند مقارنة ترکیزاته مع محدّدات منظمة الصحة العالمية $(2.61 \mu\text{g}/\text{m}^3)$ بينما لم يسجل اي ترکیز في المواقعين (S5 , S7) اما ترکیزاته في المواقع الاخرى فأنها نجد انها تجاوزت تلك المحدّدات في جميع المواقع باستثناء المواقع الاخير . في حين بلغ اعلى ترکیز في قضاء الصويرة (S1) سُجله الموقع ($2.61 \mu\text{g}/\text{m}^3$)

تجاوزت محددات (WHO) البيئية . اما في قضاء النعmaniّة فانه تركيزاته قد انخفضت كثيراً اذ سجل الموضع (S2) اعلى تركيز ($0.89 \mu\text{g}/\text{m}^3$) متراوحاً بذلك والموضع (S1) فقط المحددات البيئية فيما لم تسجل الموضع (S3 , S5 , S6) اي نسبة تركيز . في حين تجاوزت تركيز عنصر الكروم في قضاء العزيزية محددات منظمة الصحة العالمية في جميع الموضع اذ تراوحت بين ($1.31 \mu\text{g}/\text{m}^3$) وهو اعلى تركيز سُجل في الموضع (S5) بالرغم من ان هذا الموضع يمثل منطقة زراعية وبذلك يمكن ان يعزى ارتفاع تركيزاته الى حركة الرياح واثارتها للغبار او قد يكون لابعاثات معمل الطابوق في قرية الهاشمي الاثر في زيادة تركيزاته اذ تقع هذه المنطقة تحت تأثيراته لاسيمما عندما تغير الرياح مسارها خلال فصل الشتاء . اما في قضاء بدرة فقد تجاوزت تركيزاته المحددات البيئية في موقعين وهما (S1 , S3) سجل الاخر اعلى التركيزات ($0.98 \mu\text{g}/\text{m}^3$) بينما كانت تركيزاته دون حد الكشف في الموقعين الآخرين .

اما في فصل الصيف (شهر تموز) فقد ارتفعت تركيز عنصر الكروم في هواء في جميع مواقع منطقة الدراسة وبالرغم من وجود تغایر نسبي على مستوى تلك الموضع الا انها جميعها قد تجاوزت محددات منظمة الصحة العالمية انظر الخريطة (١٠ . خ - س) . ففي قضاء الكوت تراوحت تركيزه بين اعلى تركيز ($5.55 \mu\text{g}/\text{m}^3$) سجله الموضع (S8) واقل تركيز ($0.49 \mu\text{g}/\text{m}^3$) سُجل في الموضع (S11) . اما في قضاء الحي فقد تراوحت تركيزه بين ($0.67 \mu\text{g}/\text{m}^3$) كأعلى تركيز و($2.48 \mu\text{g}/\text{m}^3$) كأقل تركيز سُجلت في المواقعين (S4 , S7) على التوالي . فيما تراوحت تركيزه في قضاء الصويرية بين ($1.17 \mu\text{g}/\text{m}^3$, $3.00 \mu\text{g}/\text{m}^3$) وهما اعلى تركيز وأدنى سجلا في المواقعين (S4 , S7) على التوالي . بينما بلغ اعلى تركيز في قضاء النعmaniّة ($2.3 \mu\text{g}/\text{m}^3$) سجله الموضع (S2) يقابلها ادنى تركيز ($1.21 \mu\text{g}/\text{m}^3$) سُجل في الموضع (S3) . اما في قضاء العزيزية فالموضع (S2) سجل نسبة التركيز الاعلى وهي ($2.25 \mu\text{g}/\text{m}^3$) بالمقابل سجل الموضع (S5) نسبة التركيز الادنى اذ بلغت ($0.51 \mu\text{g}/\text{m}^3$) . وفي قضاء بدرة سجل الموضع (S4) اعلى تركيز ($2.91 \mu\text{g}/\text{m}^3$) فيما سجل الموضع (S2) ادنى نسبة تركيز وهي ($1.69 \mu\text{g}/\text{m}^3$) .

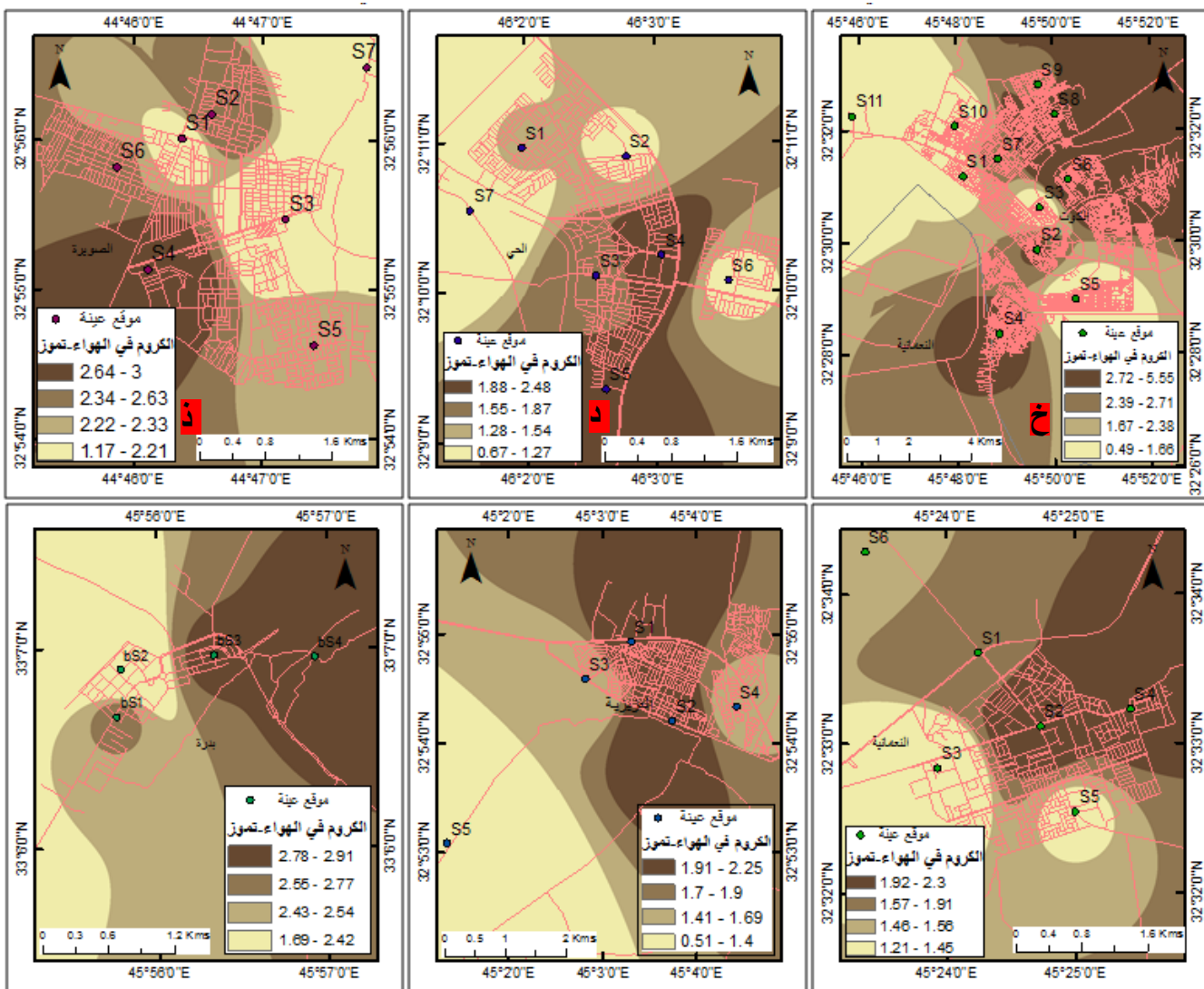
خرائط (أ.٩ - ح) التباين المكاني لتركيز الكروم المرتبط بالدقائق العالقة (مايكروغرام/م³) في هواء منطقة الدراسة لشهر



كانون الثاني

المصدر: بالاعتماد على بيانات الجدول (٢) واستخدام برنامج Arc GIS 10.7

خرائط (١٠. خ- س) التباين المكاني لتركيز الكروم المرتبط بالدقائق العالقة (مايكروغرام/م³) في هواء منطقة الدراسة



لشهر تموز

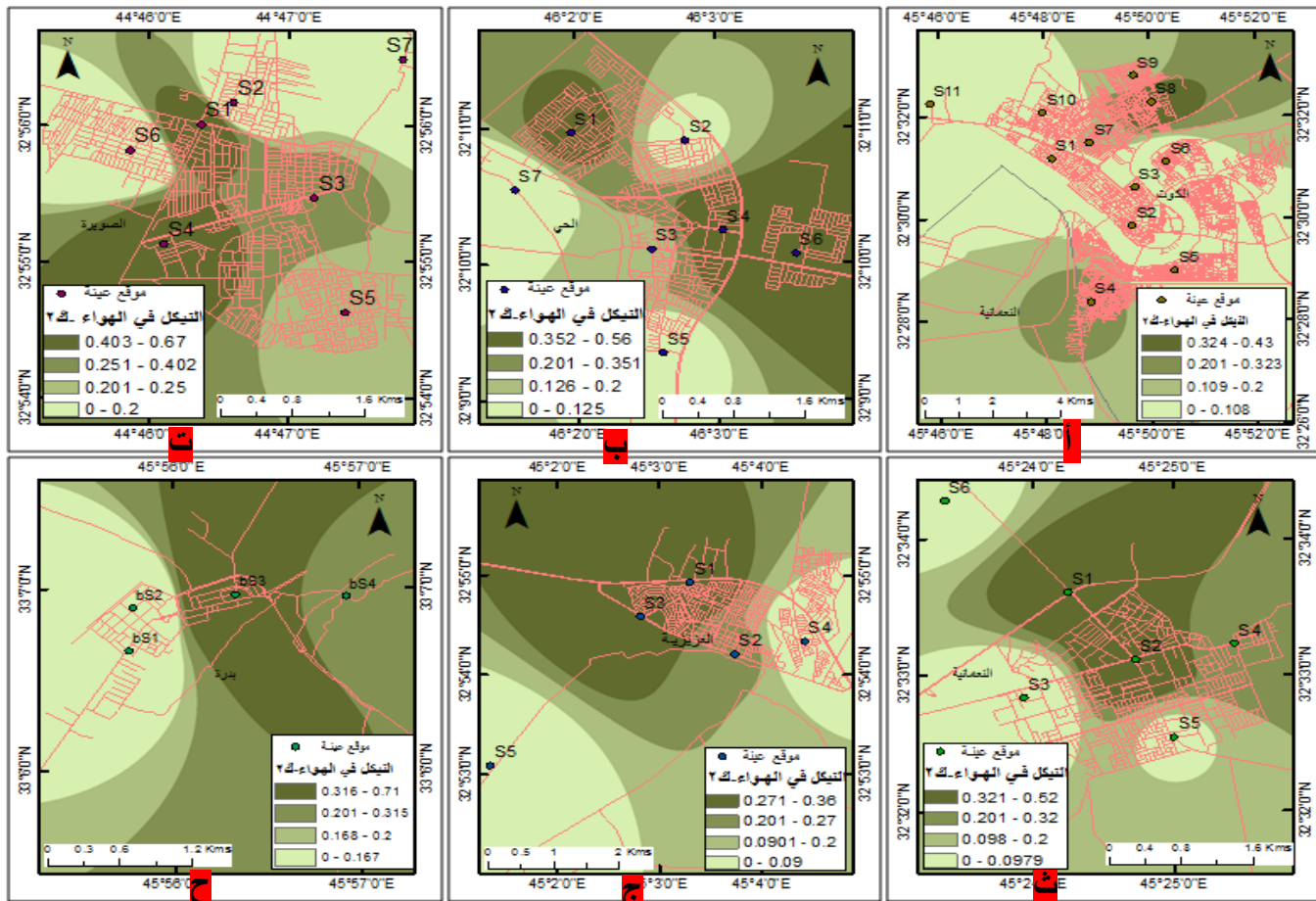
المصدر: بالأعتماد على بيانات الجدول (٢) واستخدام برنامج Arc GIS 10.7 .

رابعاً : عنصر النikel Ni

نظراً لتنوع مصادر ابعاث عنصر النikel فأن تركيزاته تبايناً كبيراً في الهواء المحيط اذ بينت احدى الدراسات ان نطاقات التركيز النموذجية لعنصر النikel في دول الاتحاد الأوروبي تتراوح في المناطق الريفية بين ٤،٠ - ٢ نانوغرام / م³ في حين تتراوح تركيزاته في المناطق الحضرية (بما في ذلك المواقع ذات الصلة بحركة المرور) بين ١٣،٤ - ١،٤ نانوغرام / م³ اما في المناطق الصناعية فأنها تتراوح بين ١٠،٠ - ٥،٠ نانوغرام / م³.^(٤) وبناءً على ذلك اظهرت نتائج حساب تركيز عنصر النikel المرتبط بالدقائق الكلية العالقة في هواء منطقة الدراسة تبايناً زمانياً ومكانياً في مستويات تركيزاتها اذ يلاحظ من الجدول (٢) والخرائط (١٠. خ- س) انها تأخذ ذات المسار الذي سلكته العناصر الثقيلة الأخرى اذ تنخفض في فصل الشتاء مقارنةً بفصل الصيف ففي قضاء الكوت سجل اعلى تركيز لعنصر النikel خلال شهر كانون الثاني في الموقع (S8) بلغ (0.43 µg/m³)، فيما كانت تركيزاته دون حد الكشف في الموقع (S1 , S10 , S11) واذا ما قارنا تركيزاته مع محددات

منظمة الصحة العالمية والبالغة ($0.2 \mu\text{g}/\text{m}^3$) نجد انها تجاوزت تلك المحددات في الموقع (S4 , S7 , S8 , S9) فقط . اما في قضاء الحي فقد سجل الموقع (S6) اعلى نسبة تركيز بلغت ($0.56 \mu\text{g}/\text{m}^3$), في المقابل كانت تركيزاته دون حد الكشف الموقع (S7) معنى ذلك انه لم يتجاوز المحددات البيئية فضلاً عن الموقع (S2 , S3 , S5) هي الاخرى كانت تركيزاتها ضمن محددات منظمة الصحة العالمية . في حين سُجل في قضاء الصويرة اعلى تركيز وهو ($0.67 \mu\text{g}/\text{m}^3$) في الموقع (S1) بينما لم يسجل اي نسبة تركيز في الموقع (S2 , S6 , S7) وعند مقارنته تركيزاته مع محددات منظمة الصحة العالمية نجد ان جميع الموقع الاخرى تجاوزت تلك المحددات . وفي قضاء النعمانية بلغت اعلى نسبة تركيز لعنصر النikel (0.52 $\mu\text{g}/\text{m}^3$) سجلها الموقع (S2) فيما كانت تركيزاته دون حد الكشف في الموقع (S3) وعند مقارنته تركيزاته مع المحددات البيئية لمنظمة الصحة العالمية يلاحظ انها تجاوزت تلك المحددات في الموقع (S1 , S2 , S4) . اما في قضاء العزيزية فقد سجلت نسبة التركيز الاعلى ($0.36 \mu\text{g}/\text{m}^3$) في الموقع (S3) في المقابل لم يسجل في الموقعين (S4 , S5) اي نسبة تركيز تذكر علماً تركيزه في الموقع الاخرى تجاوزت المحددات البيئية العالمية . فيما بلغت اعلى نسبة تركيز لعنصر النikel في قضاء بدرة ($0.43 \mu\text{g}/\text{m}^3$) سجلها الموقع (S3) متجاوزاً بذلك والموقع (S4) محددات منظمة الصحة العالمية بينما لم يسجل اي نسبة تركيز في الموقع (S2) .

خريطة (١١.٠.٤ - ح) التباین المکانی لتركيز النیکل المرتبط بالدقائق العالقة (مايكروغرام/م^٣) في هواء منطقة الدراسة لشهر

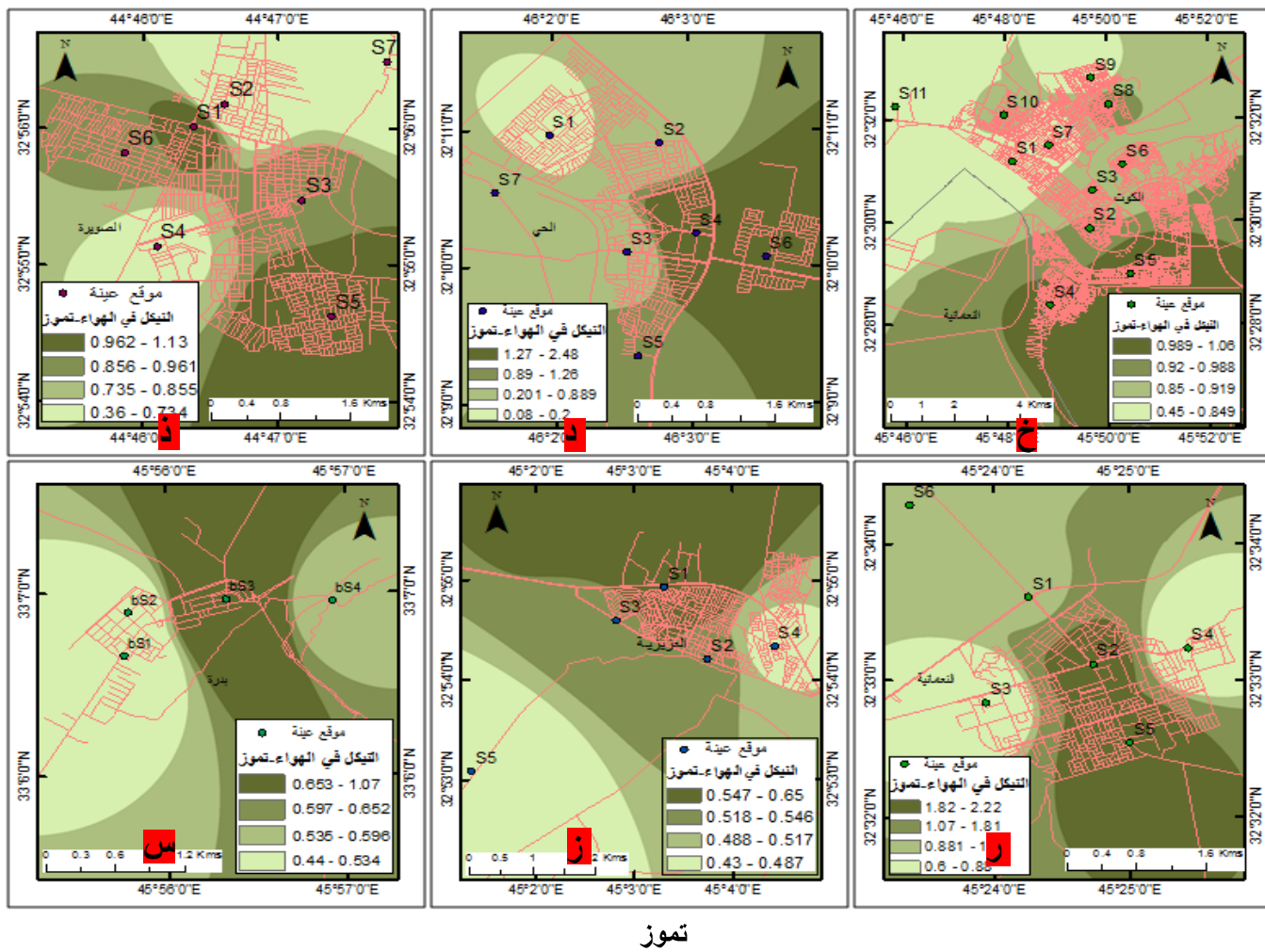


كانون الثاني

المصدر: بالاعتماد على بيانات الجدول (٢) واستخدام برنامج Arc GIS 10.7

اما بالنسبة لتركيز عنصر النيكل في هواء منطقة الدراسة خلال فصل الصيف (شهر تموز) فأنها ارتفعت بفارق كبير مع وجود تغير في التركيز بحسب صفة الموقع وخصائص استخدام الأرض وظروف الجو اثناء اخذ النماذج ولذا يلاحظ من الخريطة (١٢ . خ - س) ان تركيزه في قضاء الكوت تراوحت بين ($0.45 \mu\text{g}/\text{m}^3$, $1.06 \mu\text{g}/\text{m}^3$) كأعلى وادنى التركيز سُجلت في المواقعين (S5 , S11) . في حين تراوحت تركيزاته في قضاء الحي بين اعلى تركيز ($2.48 \mu\text{g}/\text{m}^3$) سُجل في الموقع (S4) وادنى تركيز ($0.08 \mu\text{g}/\text{m}^3$) سُجل في الموقع (S1) . بينما بلغت نسبة التركيز الاعلى لعنصر النيكل في قضاء الصويره (S4) تقابلها ادنى نسبة تركيز ($0.36 \mu\text{g}/\text{m}^3$) سُجل في الموقع (S5) . اما في قضاء النعيمية فتراوحت تركيزاته بين ($2.22 \mu\text{g}/\text{m}^3$, $0.60 \mu\text{g}/\text{m}^3$) وهو اقل تركيز سُجل في الموقع (S4) . فيما سُجل الموقع (S1) في قضاء العزيزية اعلى تركيز ($0.65 \mu\text{g}/\text{m}^3$) يقابل ادنى تركيز سُجله الموقع (S5) (بلغ $0.43 \mu\text{g}/\text{m}^3$) . اما في قضاء بدر فقد سُجلت نسبة التركيز الاعلى ($1.07 \mu\text{g}/\text{m}^3$) في الموقع (S3) اما ادنى نسبة تركيز ($0.44 \mu\text{g}/\text{m}^3$) فأنها سُجلت في الموقع (S1) . وبمقارنة تركيزات عنصر النيكل خلال هذا الفصل مع محددات منظمة الصحة العالمية (WHO) نجد انها تجاوزت تلك المحددات في جميع المواقع باستثناء الموقع (S1) في قضاء الحي .

خريطة (١٢ . خ- س) التباين المكاني لتركيز النيكل المرتبط بالدقائق العالقة (مايكروغرام/م³) في هواء منطقة الدراسة لشهر



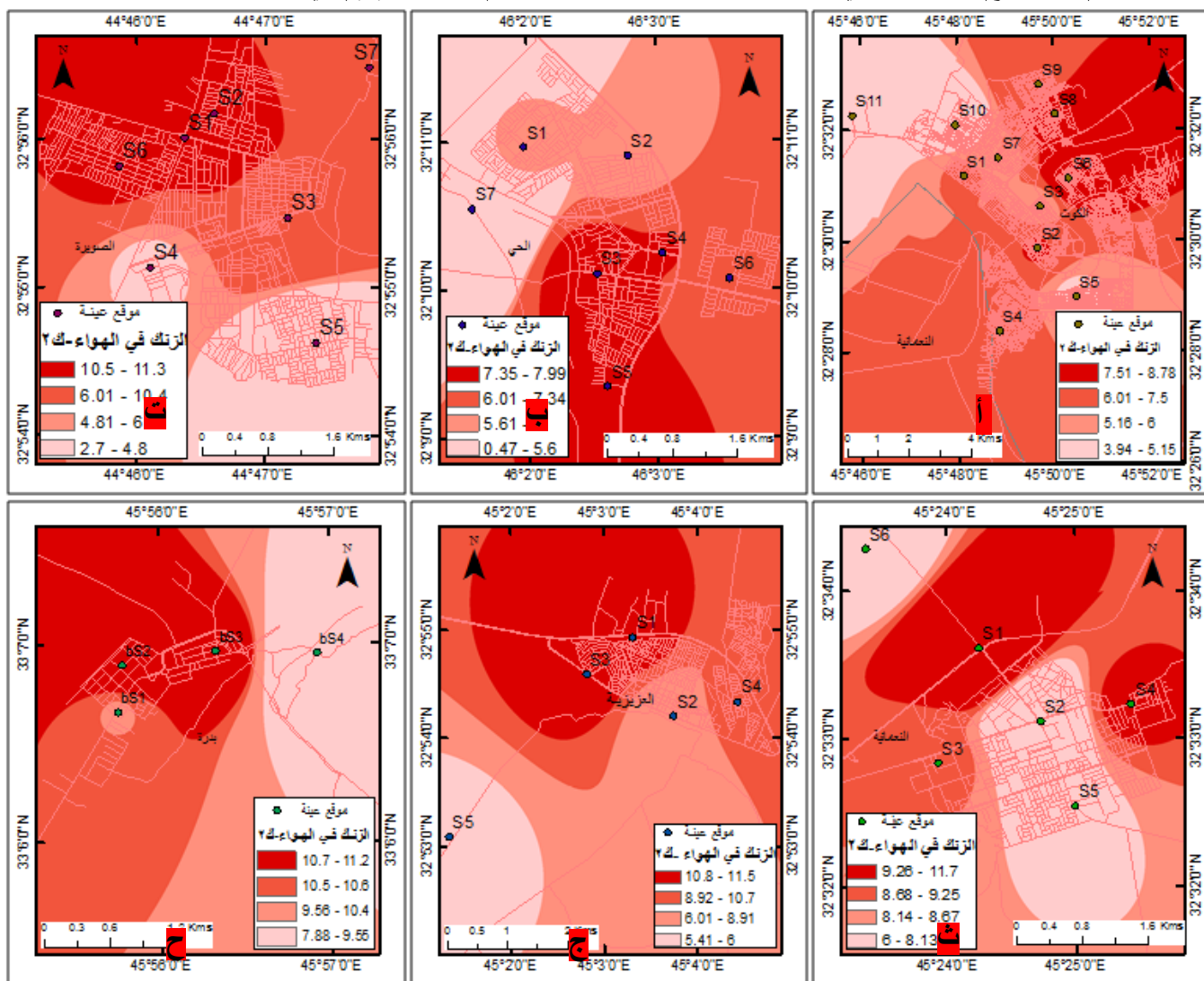
المصدر : بالاعتماد على بيانات الجدول (٢) واستخدام برنامج Arc GIS 10.7 .

خامساً : عنصر الزنك Zn

نادرًا ما يتواجد الزنك في حالته المعدنية اذ ان اغلب تركيزات الزنك في البيئة تكون على شكل مركبات الزنك اما في الهواء فانه يدخل في صورة دقائقية او بخار مصدرها العمليات الصناعية ووسائل النقل ومصادر اخرى بشريّة قد تكون او طبيعية ولذا تراوح مستويات تركيزه الخلفية في هواء بين ($0.01 - 0.30 \mu\text{g}/\text{m}^3$) وقد تصل الى ($1.00 \mu\text{g}/\text{m}^3$) في المناطق الحضرية والصناعية فيما تقدر تركيزاته في المدن الأوروبيّة بين ($0.3 - 0.0004 \mu\text{g}/\text{m}^3$)^(xi).

أشارت نتائج حساب تراكيز عنصر الزنك المرتبط بدفائق الغبار العالقة في هواء منطقة الدراسة الى وجود تذبذب وتباين مكاني وزماني في مستوياتها في موقع الدراسة وقد يعزى سبب ذلك الى نفس العوامل التي أثرت في تراكيز ملوثات الهواء الاخرى لذا يلاحظ من الجدول (٢) والخراطط (١٣ . أ - ح) ان تركيزات الزنك خلال فصل الشتاء سجلت في قضاء الكوت على تركيز لها وهو ($8.78 \mu\text{g}/\text{m}^3$) في الموقع (S6) يقابلها ادنى تركيز وهو ($3.94 \mu\text{g}/\text{m}^3$) سُجل في الموقع (S10) . وعند مقارنة تركيزاته مع محددات منظمة الصحة العالمية المسموح بها وباللغة ($6 \mu\text{g}/\text{m}^3$) نجد انها تجاوزت تلك المحددات في الموقع (S9 , S1 , S2 , S4 , S6 , S8) . اما في قضاء الحي فقد سجلت اعلى نسبة تركيز ($7.99 \mu\text{g}/\text{m}^3$) في الموقع (S3) في حين تنخفض الى ادنى تركيز لها ($0.47 \mu\text{g}/\text{m}^3$) سُجل في الموقع (S7) بمعنى انه لم يتجاوز المحددات البيئية في هذا الموقع فضلاً عن الموقعين (S1 , S2) . فيما سجلت في قضاء الصويرية نسبة التركيز الاعلى ($11.34 \mu\text{g}/\text{m}^3$) في الموقع (S2) في المقابل بلغت ادنى نسبة تركيز ($2.70 \mu\text{g}/\text{m}^3$) سجلها الموقع (S5) وبذلك لم يتجاوز تركيزه محددات منظمة الصحة العالمية بالإضافة الى الموقع (S4) . اما في قضاء النعمانية فقد تراوحت تركيزات عنصر الزنك بين اعلى تركيز ($11.67 \mu\text{g}/\text{m}^3$) سجله الموقع (S2) وادنى تركيز ($6.00 \mu\text{g}/\text{m}^3$) سُجل في الموقع (S2) وهذا الموقع فقط كانت تركيزاته ضمن محددات منظمة الصحة العالمية . بينما تراوحت تركيزاته في قضاء العزيزية بين ($5.41 \mu\text{g}/\text{m}^3 - 11.49 \mu\text{g}/\text{m}^3$) وهما اعلى وادنى تركيزين سُجلَا في الموقعين (S3 , S5) وبمقارنته تركيزاته مع المحددات البيئية يظهر انها تجاوزت تلك المحددات باستثناء الموقع الاخير . وفي قضاء بدرة بلغت نسبة التركيز الاعلى ($11.16 \mu\text{g}/\text{m}^3$) سجلها الموقع (S2) في حين تنخفض الى ادنى تركيز لها ($7.88 \mu\text{g}/\text{m}^3$) سجله الموقع (S4) وبذلك تجاوزت تركيزاته محددات منظمة الصحة العالمية في جميع الموقع .

خريطة (١٣ . أ - ح) التباين المكاني لتركيز الزنك المرتبط بال دقائق العالقة (مايكروغرام/م³) في هواء منطقة الدراسة لشهر



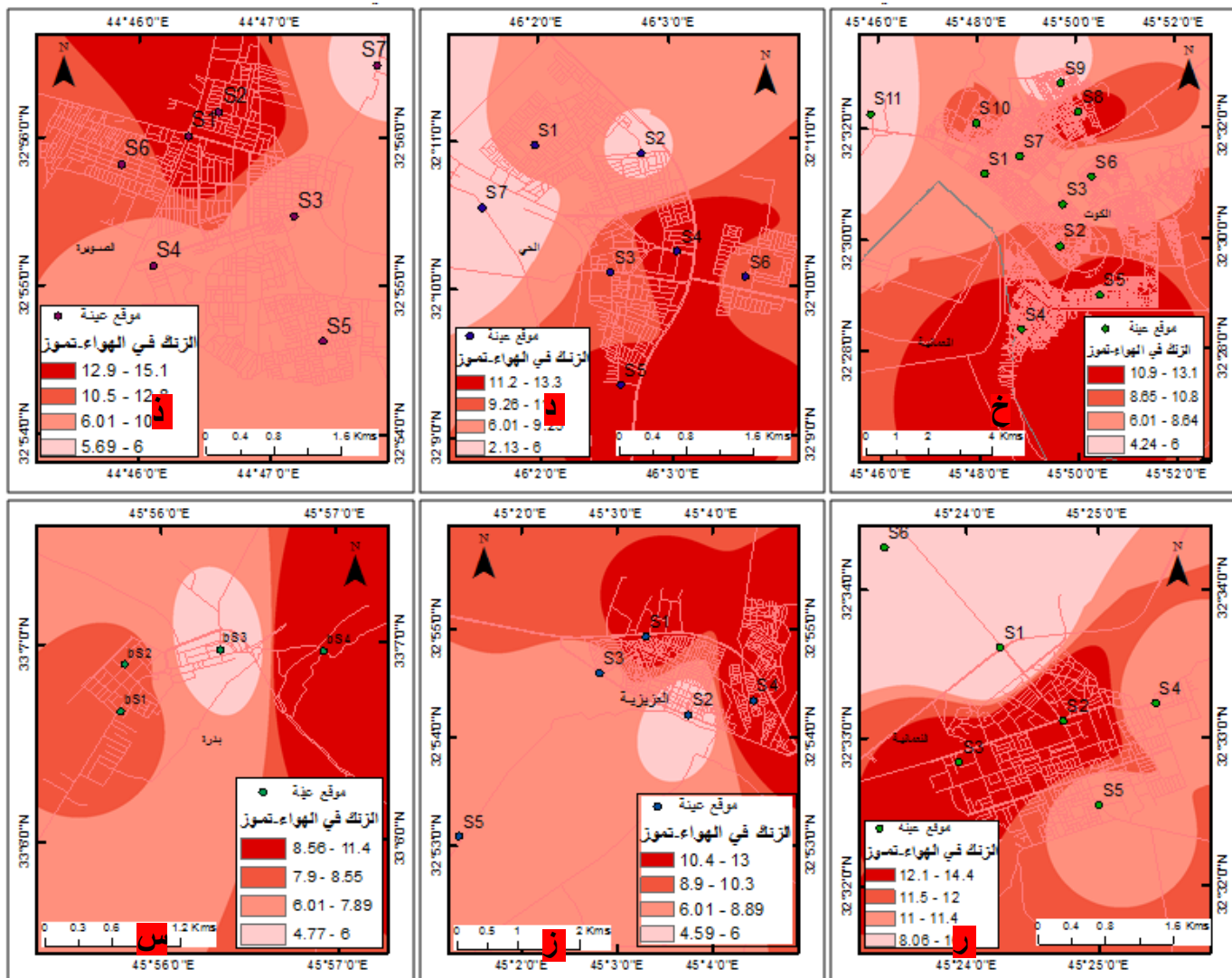
كانون الثاني

المصدر: بالأعتماد على بيانات الجدول (٢) واستخدام برنامج Arc GIS 10.7 .

اما فيما يخص تركيزات عنصر الزنك خلال فصل الصيف فيلاحظ من الخريطة (١٤ . خ - س) انها اظهرت تغير موقعي واضح ولذلك سجلت في قضاء الكوت اعلى نسبة تركيز ($13.05 \mu\text{g}/\text{m}^3$) في الموقع (S8) ، بالمقابل بلغت نسبة التركيز الادنى ($4.24 \mu\text{g}/\text{m}^3$) وقد سجلها الموقع (S9) وبذلك لم تتجاوز تركيزاته في الموقع الاخير والموقع (S11) محددات منظمة الصحة العالمية . بينما سجلت في قضاء الحي اعلى نسبة تركيز ($13.33 \mu\text{g}/\text{m}^3$) في الموقع (S4) ثم تنخفض الى ادنى تركيز لها ($2.13 \mu\text{g}/\text{m}^3$) في الموقع (S7) وعليه فانه والموقع (S2) لم يتجاوزا المحددات البيئية المسموح بها . اما في قضاء الصويرة فقد سجلت نسبة التركيز الاعلى ($15.11 \mu\text{g}/\text{m}^3$) في الموقع (S1) تقابلها ادنى نسبة التركيز ($4.24 \mu\text{g}/\text{m}^3$) سجلها الموقع (S7) وهو الموقع الوحيد الذي كانت تركيزاته ضمن المحددات البيئية العالمية . فيما تراوحت تركيزات عنصر الزنك في قضاء النعمانية بين اعلى تركيز ($14.42 \mu\text{g}/\text{m}^3$) واقل تركيز ($8.06 \mu\text{g}/\text{m}^3$) سجلهما الموقعين (S2 , S6) على التوالي معنى ذلك انها تجاوزت محددات منظمة الصحة العالمية في جميع المواقع . وفي قضاء العزيزية

ترواحت تركيزاته بين ($4.59 \mu\text{g}/\text{m}^3$) و($13.02 \mu\text{g}/\text{m}^3$) وهو أعلى تركيز سجله الموقع (S4) . كأقل تركيز سُجل في الموقع (S2) وبذلك فإن تركيزات الزنك لم تتجاوز المحددات البيئية في هذا الموقع فقد في القضاء مقارنة بالمواقع الأخرى . وأما في قضاء بدرة فالموقع (S4) سجل نسبة التركيز الأعلى إذ بلغت ($11.41 \mu\text{g}/\text{m}^3$) في سجل الموقع (S3) نسبة التركيز الأدنى ($4.77 \mu\text{g}/\text{m}^3$) إذ أنها لم تتجاوز محددات منظمة الصحة العالمية في هذا الموقع فقط .

خريطة (٤ . خ - س) التباين المكاني لتركيز الزنك المرتبط بالدفائق العالقة (مايكروغرام/م³) في هواء منطقة الدراسة



شهر تموز

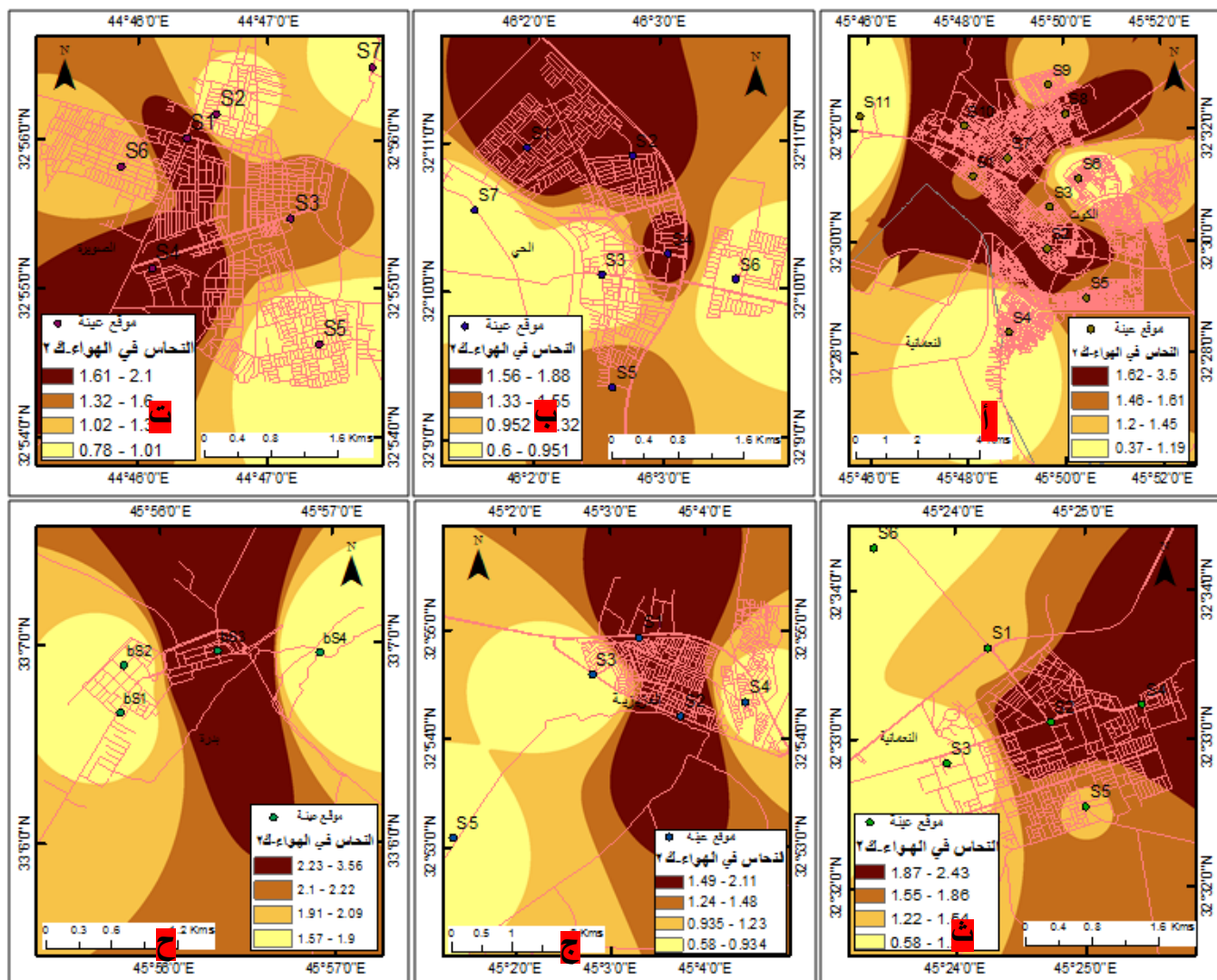
المصدر: بالاعتماد على بيانات الجدول (٢) واستخدام برنامج Arc GIS 10.7

سادساً : عنصر النحاس Cu

تقدير تركيزات عنصر النحاس الخلفية في الهواء بحوالي $5 \text{ }\mu\text{g}/\text{m}^3$ ، فيما تتراوح مستويات تركيزاته في الولايات المتحدة في الهواء بين $10 - 570 \text{ }\mu\text{g}/\text{m}^3$ ، وهي أعلى القيم الموجودة في المناطق الحضرية وتمثل هذه القيم متوسط تركيز النحاس في ١٣ مدينة في جميع أنحاء الولايات المتحدة .^(xiii)

بيّنت نتائج حساب تراكيز عنصر النحاس المرتبط بالدفائق العالقة في هواء منطقة الدراسة ارتفاع مستويات تركيزاته في جميع الواقع مع تباين زماني ومكاني واضح اذ تختلف نسبياً خلال فصل الشتاء (شهر كانون الثاني) ويمكن ملاحظة ذلك من خلال الجدول (٢) والخريطة (١٥ . أ - ح) ففي قضاء الكوت تراوحت تركيزاته ما بين اعلى تركيز (3.50 $\mu\text{g}/\text{m}^3$) وادنى تركيز 1.88 (0.37 $\mu\text{g}/\text{m}^3$) سجلا في المواقعين (S10, S11) على التوالي . في حين تراوحت تركيزاته في قضاء الحلة ما بين (0.78 $\mu\text{g}/\text{m}^3$) وهو اعلى تركيز سجله الموقع (S1) و(0.60 $\mu\text{g}/\text{m}^3$) كادنى تركيز سجله الموقع (S3) . اما في قضاء الصويره فقد تراوحت تركيزات عنصر النحاس ما بين (0.78 $\mu\text{g}/\text{m}^3$, 2.10 $\mu\text{g}/\text{m}^3$, 2.11 $\mu\text{g}/\text{m}^3$) اعلى وادنى التركيزات سجلهما الموقعين (S1, S5) . فيما سجلت في قضاء النعمانية نسبة التركيز الاعلى (2.43 $\mu\text{g}/\text{m}^3$) في الموقع (S2) تقابلها النسبة الادنى (0.58 $\mu\text{g}/\text{m}^3$) وقد سجلها الموقع (S6) . بينما في قضاء العزيزية سجل الموقع (S2) اعلى نسبة تركيز (2.11 $\mu\text{g}/\text{m}^3$) بالمقابل سجل الموقع (S3) ادنى نسبة (0.58 $\mu\text{g}/\text{m}^3$) . اما في قضاء بدرة فان تركيزاته قد تراوحت بين اعلى تركيز (3.50 $\mu\text{g}/\text{m}^3$) سجله الموقع (S3) وادنى تركيز مسجلأ (1.57 $\mu\text{g}/\text{m}^3$) في الموقع (S4) .

خريطه (١٥ . أ - ح) التباين المكاني لتركيز النحاس المرتبط بالدفائق العالقة (مايكروغرام/م³) في هواء منطقة الدراسة لشهر



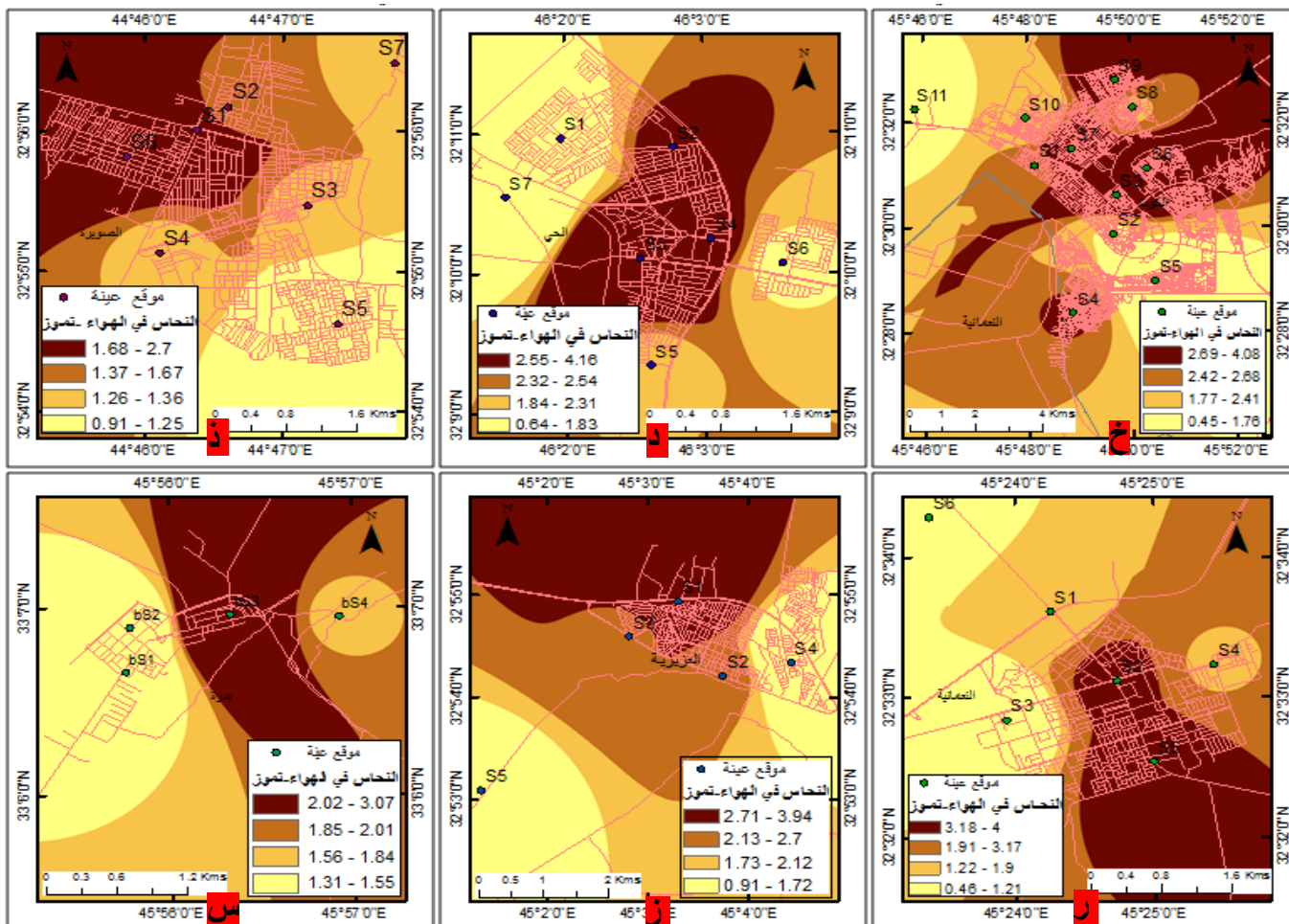
كانون الثاني

المصدر: بالاعتماد على بيانات الجدول (٢) واستخدام برنامج Arc GIS 10.7

اما في فصل الصيف (شهر تموز) فيلاحظ من الخريطة (١٦ خ - س) ان تركيزات عنصر النحاس سجلت نسباً أعلى عما كانت عليه في فصل الشتاء لتراوحت في قضاء الكوت ما بين أعلى تركيز ($4.08 \mu\text{g}/\text{m}^3$) وادنى تركيز ($0.45 \mu\text{g}/\text{m}^3$) سجلاً في الموقعين (S3 , S5) . في حين تراوحت تركيزاته ما بين ($4.16 \mu\text{g}/\text{m}^3$) وهو أعلى تركيز سجله الموقع (S3) و($0.64 \mu\text{g}/\text{m}^3$) كأدنى تركيز قد سجله الموقع (S7) . بينما سجل في قضاء الصويرة نسبة التركيز الأعلى في الموقع (S1) اذ بلغت ($2.70 \mu\text{g}/\text{m}^3$) بالمقابل سجلت نسبة التركيز الأدنى في الموقع (S5) لتبليغ ($0.91 \mu\text{g}/\text{m}^3$) . اما في قضاء النعمانية فقد تراوحت تركيزاته ما بين ($4.00 \mu\text{g}/\text{m}^3$) وأدنى تركيز ($0.91 \mu\text{g}/\text{m}^3$) . وفي قضاء العزيزية تراوحت تركيزاته أعلى تركيز سجل في الموقع (S5) و($2.43 \mu\text{g}/\text{m}^3$) وهو ادنى تركيز سجله الموقع (S3) . وفي قضاء العزيزية تراوحت تركيزاته ما بين أعلى تركيز للنحاس ($3.94 \mu\text{g}/\text{m}^3$) سجل في الموقع (S1) يقابلها في الموقع (S4) ادنى نسبة تركيز وقد بلغت ($2.43 \mu\text{g}/\text{m}^3$) فيما تراوحت تركيزاته في قضاء بدرة ما بين ($3.94 \mu\text{g}/\text{m}^3$, $3.94 \mu\text{g}/\text{m}^3$) وهما أعلى وادنى تركيزين سجلاً في الموقعين (, S3) على التوالي .

يلاحظ مما تقدم ان تركيزات عنصر النحاس في هواء منطقة الدراسة قد تجاوزت محدودات منظمة الصحة العالمية والبالغة ($0.25 \mu\text{g}/\text{m}^3$) في جميع مواقع الدراسة وللفصلين الصيفي والشتوي وذلك لتنوع مصادر انبعاثاته في منطقة الدراسة فضلاً عن غنى التربة بالنحاس وعليه فعد اثارة الغبار الحاوي على النحاس بواسطة الرياح يؤدي الى زيادة تركيزاته في الهواء .

خريطة (١٦ خ - س) التباين المكاني لتركيز النحاس المرتبط بالدائق العالقة (ميكروغرام/م³) في هواء منطقة الدراسة



شهر تموز

المصدر: بالأعتماد على بيانات الجدول (٢) واستخدام برنامج Arc GIS 10.7 .



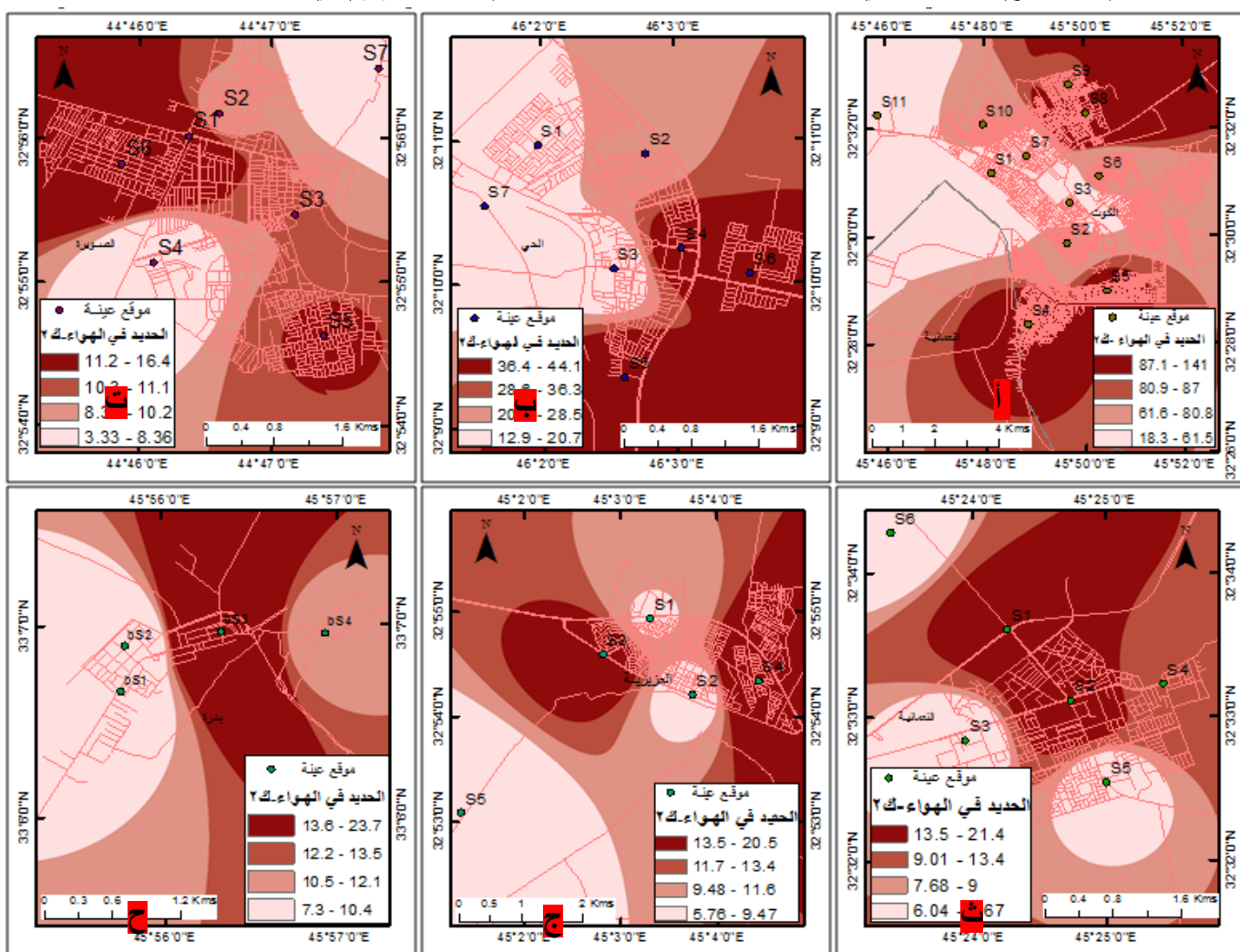
سابعاً : عنصر الحديد Fe

تتراوح تركيز عنصر الحديد في مناطق عديدة من العالم ما بين $70-60 \text{ نانوغرام}/\text{م}^3$ وقد تصل معدلات تركيزه في الهواء إلى $2500 \text{ نانوغرام}/\text{م}^3$ في المناطق الملوثة، غالباً ما يرتبط وجوده في الهواء بالنشاطات البشرية ويمثل احتراق الوقود وطحن المواد في المنشآت الصناعية ووسائل النقل مصادر انتهاكاته الرئيسية فضلاً عن مصادر التربة والغبارية . (xiv)

اظهرت نتائج حساب تركيزات عنصر الحديد المرتبط بدفائق الغبار العلاقة تغير موقعه وتباين مكانه وزمانه واضح اذ يلاحظ من الجدول (٢) والخريطة (١٧ . أ - ح) انها ترتفع في بعض المواقع شتاءً ثم تأخذ بالانخفاض صيفاً ثم تتعكس الحالة في موقع اخرى ويمكن ان يعزى السبب في ذلك الى دور دفائق الغبار العلاقة اذا ما علمنا بان تركيز الحديد ترتفع كثيراً في التربة والقشرة الأرضية على حد سواء . لذلك تراوحت تركيزاته خلال فصل الشتاء (شهر ك ٢) في قضاء الكوت ما بين اعلى تركيز ($140.8 \mu\text{g}/\text{m}^3$) (S8) سجل في الموقع مقابل ادنى تركيز ($18.31 \mu\text{g}/\text{m}^3$) (S11) سجله الموقع . في حين تراوحت تركيزاته في قضاء الحي ما بين ($44.14 \mu\text{g}/\text{m}^3$) كأعلى تركيز سجله الموقع (S5) و ($12.88 \mu\text{g}/\text{m}^3$) وهو ادنى تركيز سُجل في الموقع (S7) . فيما تراوحت تركيزاته في قضاء الصوير ما بين ($16.43 \mu\text{g}/\text{m}^3$, $3.33 \mu\text{g}/\text{m}^3$) وبينما اعلى وادنى تركيزين سجلهما الموقعين (S6 , S7) على التوالي .اما في قضاء النعمانية فقد تراوحت تركيزات عنصر الحديد ما بين ($21.44 \mu\text{g}/\text{m}^3$) التركيز الاعلى والذي سُجل في الموقع (S2) و ($6.04 \mu\text{g}/\text{m}^3$) ادنى تركيز سجله الموقع (S6) . بينما سُجل الموقع (S4) في قضاء العزيزية اعلى تركيز ($20.54 \mu\text{g}/\text{m}^3$) يقابلها في الموقع (S5) ادنى تركيز ($5.76 \mu\text{g}/\text{m}^3$) . تراوحت تركيزاته ما بينهما في المواقع الاخرى . وفي قضاء بدرة تراوحت تركيزاته ما بين اعلى تركيز ($23.67 \mu\text{g}/\text{m}^3$) وادنى تركيز ($7.30 \mu\text{g}/\text{m}^3$) سجل في الموقعين (S3 , S2) على التوالي .



خرطة (١٧. أ - ح) التباين المكاني لتركيز الحديد المرتبط بالدقائق العالقة (مايكروغرام/م³) في هواء منطقة الدراسة لشهر

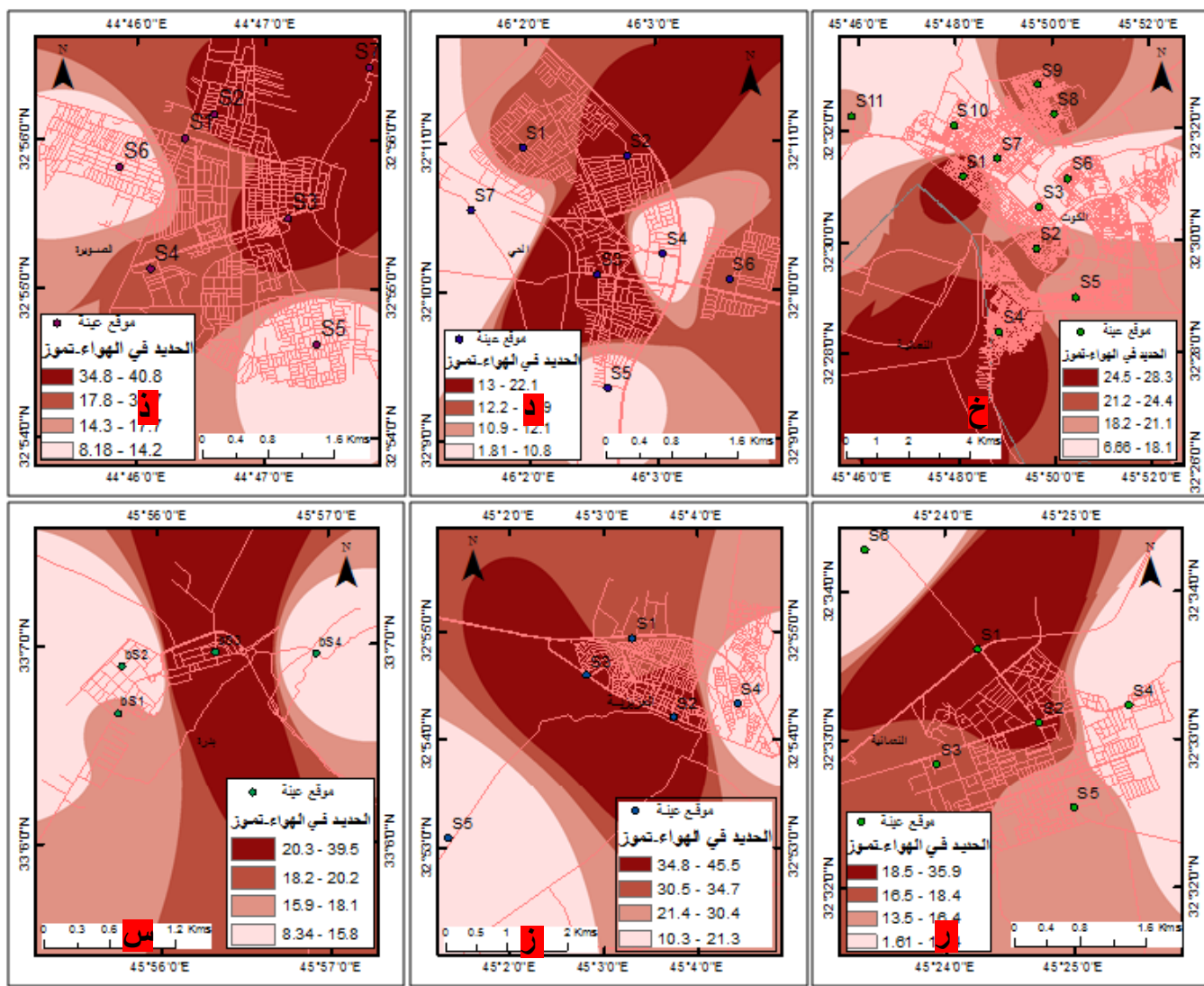


كانون الثاني

المصدر: بالاعتماد على بيانات الجدول (٢) واستخدام برنامج Arc GIS 10.7 .

اما في فصل الصيف (شهر تموز) فيلاحظ من الخريطة (١٨ . خ - س) ان تركيزات عنصر الحديد في قضاء الكوت تراوحت ما بين ($28.37 \mu\text{g}/\text{m}^3$) كأعلى تركيز سجله الموقع (S1) و($6.66 \mu\text{g}/\text{m}^3$) كأدنى تركيز سجل في الموقع (S10) ، وفي قضاء الحي تراوحت تركيزاته ما بين اعلى تركيز ($22.07 \mu\text{g}/\text{m}^3$) وادنى تركيز ($1.81 \mu\text{g}/\text{m}^3$) سجلان في المواقعين (S2 , S3) على التوالي . فيما تراوحت تركيزاته في قضاء الصويرة ما بين اعلى تركيز سجله الموقع (S2) والذي بلغ ($40.83 \mu\text{g}/\text{m}^3$) مقابل ادنى تركيز سجله الموقع (S6) وهو ($8.18 \mu\text{g}/\text{m}^3$) . اما في قضاء النعمانية فقد سجل اعلى تركيز للحديد ($35.88 \mu\text{g}/\text{m}^3$) في الموقع (S1) يقابل ادنى تركيز ($1.61 \mu\text{g}/\text{m}^3$) لتراوح تركيزاته ما بينهما في الموقع الاخرى . في حين سجل الموقع (S2) في قضاء العزيزية نسبة التركيز الاعلى اذ بلغت (45.53) $\mu\text{g}/\text{m}^3$ اما ادنى نسبة تركيز فقد سجلها الموقع (S5) اذ بلغت ($10.25 \mu\text{g}/\text{m}^3$) لتراوحت تركيزاته في الموقع الاخرى ما بين ذلك . بينما تراوحت تركيزاته في قضاء بدرة ما بين اعلى تركيز ($39.47 \mu\text{g}/\text{m}^3$) سجل في الموقع (S3) وادنى تركيز ($8.34 \mu\text{g}/\text{m}^3$) .

خرائط (١٨ . خ - س) التباين المكاني لتركيز الحديد المرتبط بالدقائق العالقة ($\text{مايكروغرام}/\text{م}^3$) في هواء منطقة الدراسة لشهر



تموز

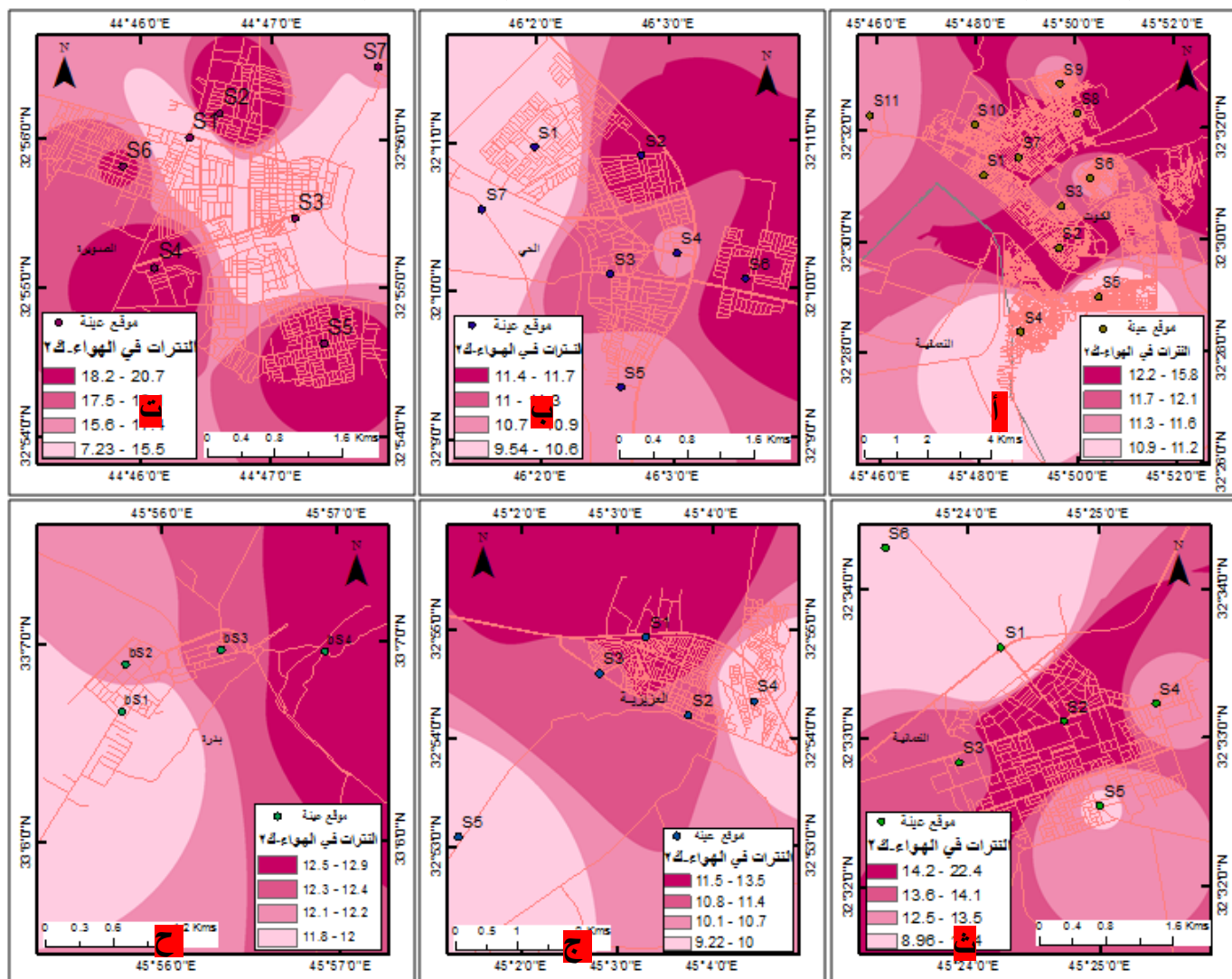
. Arc GIS 10.7 واستخدام برنامج

ثامناً : آيون النترات NO_3^-

تعد النترات مصدراً ثانوياً للتلوث الهواء وت تكون عن طريق أكسيد النيتروجين المنبعثة في الجو المؤكسد إلى حمض النيتريك، والتي بدورها تشكل جزيئات النترات والتي يمكن إزالتها إما عن طريق عمليات الترسيب الجافة أو الرطبة وتعتمد مستويات النترات في الجو اعتماداً كبيراً على شدة الإشعاع الشمسي ودرجة الحرارة والتركيب الكيميائي للهباء الجوي والغازات في الجو ويمكن لهذه العمليات الكيميائية غير المتجانسة أن تغير كيمياء التروبوسفير إذ لها على ان تخفض كتلة الأوزون التروبوسفيرية العالمية بنسبة ٥٪ من خلال تفاعل أنواع الطور الغازي مع الهباء الجوي للغبار المعدني.^(xv) وتتراوح تركيزات نترات الغلاف الجوي المبلغ عنها من تركيزات منخفضة تبلغ ($0.1 - 0.4 \mu\text{g}/\text{m}^3$) إلى تركيزات عالية المستوى تراوح مابين ($1 - 40 \mu\text{g}/\text{m}^3$) كما اظهرت احدى الدراسات بأن تركيزاتها في عينات الهواء في هولندا تتراوح بين ($1 - 14 \mu\text{g}/\text{m}^3$) اما تركيزات نترات الهباء في الأماكن الداخلية فتراوح مابين ($1.1 - 5.6 \mu\text{g}/\text{m}^3$) بمعنى أنها مرتبطة بتركيزات خارجية المصدر.^(xvi)

شارت نتائج حساب تركيزات أيون النترات المرتبطة بدقائق الغبار العالقة في هواء منطقة الدراسة الى وجود تباينات مكانية طفيفة في مستوياتها ويمكن ان يعزى السبب في ذلك الى تشابه مصدر انباع ملوثات الهواء لاسيما اكاسيد النيتروجين وقابليتها على التحول في الجو الى نترات فضلاً عن وقت وظروف الجو اثناء عملية اخذ النماذج اذ يساهم الاشعاع الشمسي ودرجة الحرارة ونسبة الرطوبة في عملية التحويل كون عمر النترات في الغلاف الجوي حوالي أسبوع واحد بسبب انخفاض قابليتها للذوبان .^(xvii) ولذلك يلاحظ من الجدول (٢) والخريطة (١٩ . أ - خ) ان تركيزاتها خلال فصل الشتاء (شهر كانون الثاني) في قضاء الكوت قد تراوحت ما بين اعلى نسبة تركيز ($15.84 \mu\text{g}/\text{m}^3$) سجلها الموضع (S8) وادنى نسبة ($10.88 \mu\text{g}/\text{m}^3$) سجلت لخلا الموقعين (S4) . اما في قضاء الحمزة فقد تراوحت تركيزاتها ما بين ($11.712 \mu\text{g}/\text{m}^3$) وهو اعلى تركيز سجله الموضع (S1) يقابلها ($10.24 \mu\text{g}/\text{m}^3$) ادنى تركيز سُجل في الموضع (S6) .

خرائطة (١٩ . أ - خ) التباين المكانى لتركيزات النترات المرتبطة بالدقائق العالقة ($\text{مايكروغرام}/\text{م}^3$) في هواء منطقة الدراسة لشهر



كانون الثاني

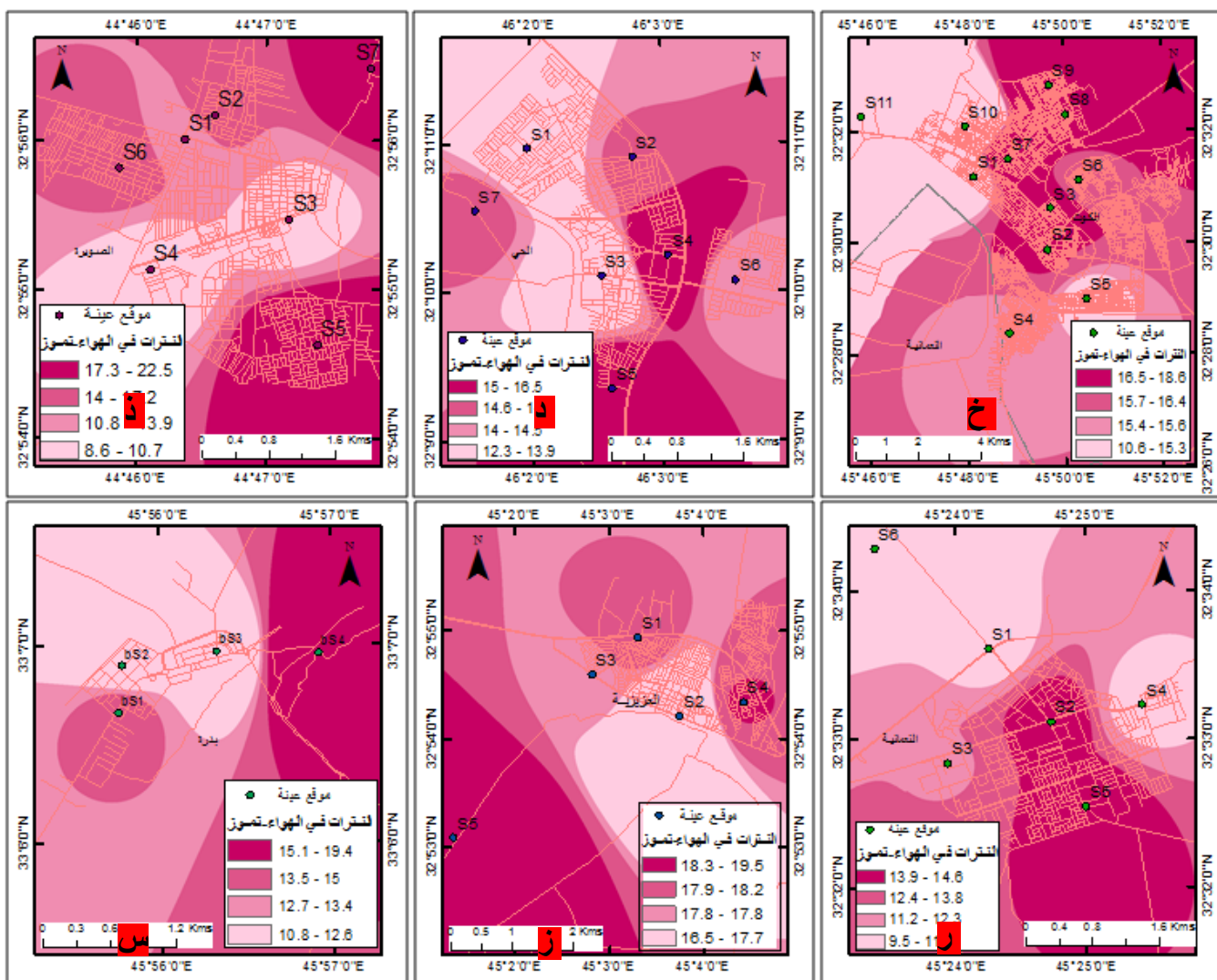
المصدر: بالاعتماد على بيانات الجدول (٢) واستخدام برنامج Arc GIS 10.7

في حين تراوحت تركيزاتها في قضاء الصويرة مابين ($20.74 \mu\text{g}/\text{m}^3$, $7.23 \mu\text{g}/\text{m}^3$) وها أعلى وادنى تركيزين سجلهما الموقعين (S2 , S3) . فيما تراوحت تركيزاتها في قضاء النعمنية مابين أعلى تركيز ($22.4 \mu\text{g}/\text{m}^3$) وادنى تركيز ($8.96 \mu\text{g}/\text{m}^3$) سجلا في الموقعين (S2 , S6) على التوالي . بينما في قضاء العزيزية سجل الموقعاً (S1) نسبة التركيز الأعلى ($13.50 \mu\text{g}/\text{m}^3$) تقابلها في الموقع (S4) ادنى نسبة وهي ($9.22 \mu\text{g}/\text{m}^3$) لتنراوح تركيزاته في المواقع الأخرى بين ذلك . اما في قضاء بدرة فتراوحت تركيزات النترات مابين أعلى تركيز ($12.86 \mu\text{g}/\text{m}^3$) وادنى تركيز (11.84) ($11.84 \mu\text{g}/\text{m}^3$) سجلا في الموقعين (S4 , S2) على التوالي .

اما في فصل الصيف (شهر تموز) فيلاحظ من الخريطة (٢٠ . خ - س) ان تركيزات النترات قد أخذت مساراً مغايراً عما كانت عليه في فصل الشتاء ففي قضاء الكوت تراوحت تركيزاتها مابين اعلى تركيز ($18.6 \mu\text{g}/\text{m}^3$) سجل في الموقع (S9) وادنى تركيز ($10.6 \mu\text{g}/\text{m}^3$) سجله الموقع (S11) . فيما تراوحت تركيزاتها في قضاء الحي مابين ($12.3 \mu\text{g}/\text{m}^3$) كأعلى تركيز سجله الموقع (S4) يقابلها ادنى تركيز ($16.5 \mu\text{g}/\text{m}^3$) سجله الموقع (S1) . بينما سجل الموقعاً (S5) في قضاء الصويرة نسبة التركيز الأعلى ($22.5 \mu\text{g}/\text{m}^3$) اما ادنى نسبة تركيز ($9.3 \mu\text{g}/\text{m}^3$) فقد سجلها الموقعاً (S3) تراوحت تركيزاته في المواقع الأخرى بينهما . في حين تراوحت تركيزاتها في قضاء النعمنية مابين أعلى تركيز ($14.6 \mu\text{g}/\text{m}^3$) سجل لكلا الموقعين (S5 , S2) وادنى تركيز ($9.5 \mu\text{g}/\text{m}^3$) سجله الموقع (S6) . وفي قضاء العزيزية ترتفع تركيزاتها نسبياً في جميع المواقع لتنحصر مابين ($19.5 \mu\text{g}/\text{m}^3$) وهو أعلى تركيز سجله الموقع (S5) وبالرغم من كون هذا الموقع يمثل منطقة زراعية الا ان قربه من نهر دجلة ممكن يساعد في اغناء الهواء بالرطوبة الامر الذي يساعد على تحويل اكاسيد النتروجين الى نترات سلماً وانه يقع تحت تأثير معمل طابوق الهاشمي من جهة الشرق . اما ادنى تركيز ($16.5 \mu\text{g}/\text{m}^3$) فقد سجله في الموقع (S2) . فيما تراوحت تركيزات النترات في قضاء بدرة مابين ($10.8 \mu\text{g}/\text{m}^3$, $19.4 \mu\text{g}/\text{m}^3$) وها أعلى وادنى تركيزين سجللا في الموقعين (S3 , S4) على التوالي .



خرائط (٢٠ . خ - س) التباين المكاني لتركيزات النترات المرتبطة بالدفائق العالقة ($\text{مايكروغرام}/\text{م}^3$) في هواء منطقة



الدراسة لشهر تموز

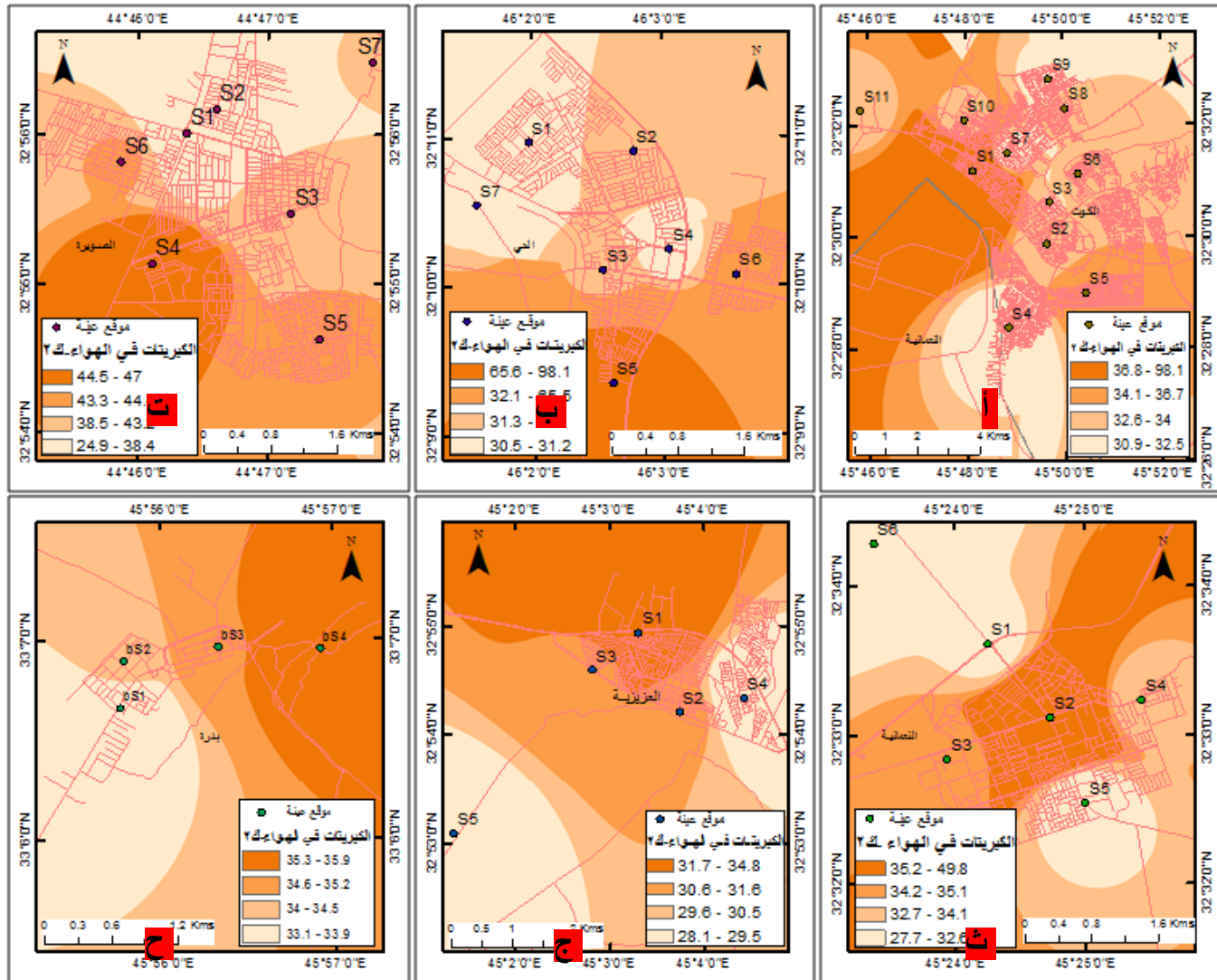
المصدر: بالاعتماد على بيانات الجدول (٢) واستخدام برنامج Arc GIS 10.7

تساعاً : آيون الكبريتات SO_4^{2-}

كان الاعتقاد السائد سابقاً هو ان الكبريتات تتكون في طبقات الجو العليا بعد وصول غاز SO_2 لها عن طريق المدخن العالية، لكن تبين فيما بعد ان قمت براهين على ان تكون الكبريتات يحدث ايضاً في طبقات الجو السفلية، وبصورة أدق حتى في الشوارع داخل المدن^(xviii). عن طريق أكسدة ثاني أوكسيد الكبريت المنبعث من احتراق الوقود في الهواء بوجود الرطوبة الجوية . وتعد الكبريتات احد ملوثات الهواء الثانوية وهي جزء من مكونات الهباء الجوي الدقيقة^(xix). اتضح من خلال حساب تركيزات آيون الكبريتات المرتبطة بالدفائق العالقة في هواء منطقة الدراسة انها اظهرت تقارب في مستويات تركيزاتها في معظم الموقع ويمكن ان يعود السبب في ذلك الى تشابه مصادر ابعاث اوكسيد الكبريت فضلاً عن تشابه ظروف الجو من قلة الرطوبة وارتفاع درجات الحرارة في جميع المراكز الحضرية لذ يظهر من الجدول (٢) والخرائط (٢١ . أ - ح) ان تركيزاتها خلال فصل الشتاء (ك) قد تراوحت في قضاء الكوت ما بين اعلى تركيز (98.07 $\mu\text{g}/\text{m}^3$)

سجل في الموقع (S1) وادنى تركيز ($30.87 \mu\text{g}/\text{m}^3$) في كلا الموقعين (S4 , S7) . في حين تراوحت تركيزاتها في قضاء الحي مابين ($98.07 \mu\text{g}/\text{m}^3$) أعلى تركيز سجله الموقع (S5) و ($98.07 \mu\text{g}/\text{m}^3$) كادنى تركيز سجل في الموقع (S1) . فيما تراوحت تركيزاتها في قضاء الصويرة مابين ($24.88 \mu\text{g}/\text{m}^3$, $47.04 \mu\text{g}/\text{m}^3$) وهما اعلى وادنى تركيزين سجلهما الموقعين (S2 , S4) على التوالي . بينما سجل الموقع (S2) في قضاء النعمانية نسبة التركيز الاعلى ($49.77 \mu\text{g}/\text{m}^3$) تقابلها في الموقع (S6) ادنى نسبة تركيز اذ بلغت ($27.72 \mu\text{g}/\text{m}^3$) . تراوحت تركيزاتها بين ذلك في المواقع الاخرى .

٢١- ح) التباين المكاني لترابيز الكبريتات المرتبط بالدفائق العالقة (مايكروغرام/م³) في هواء منطقة الدراسة لشهر



كانون الثاني

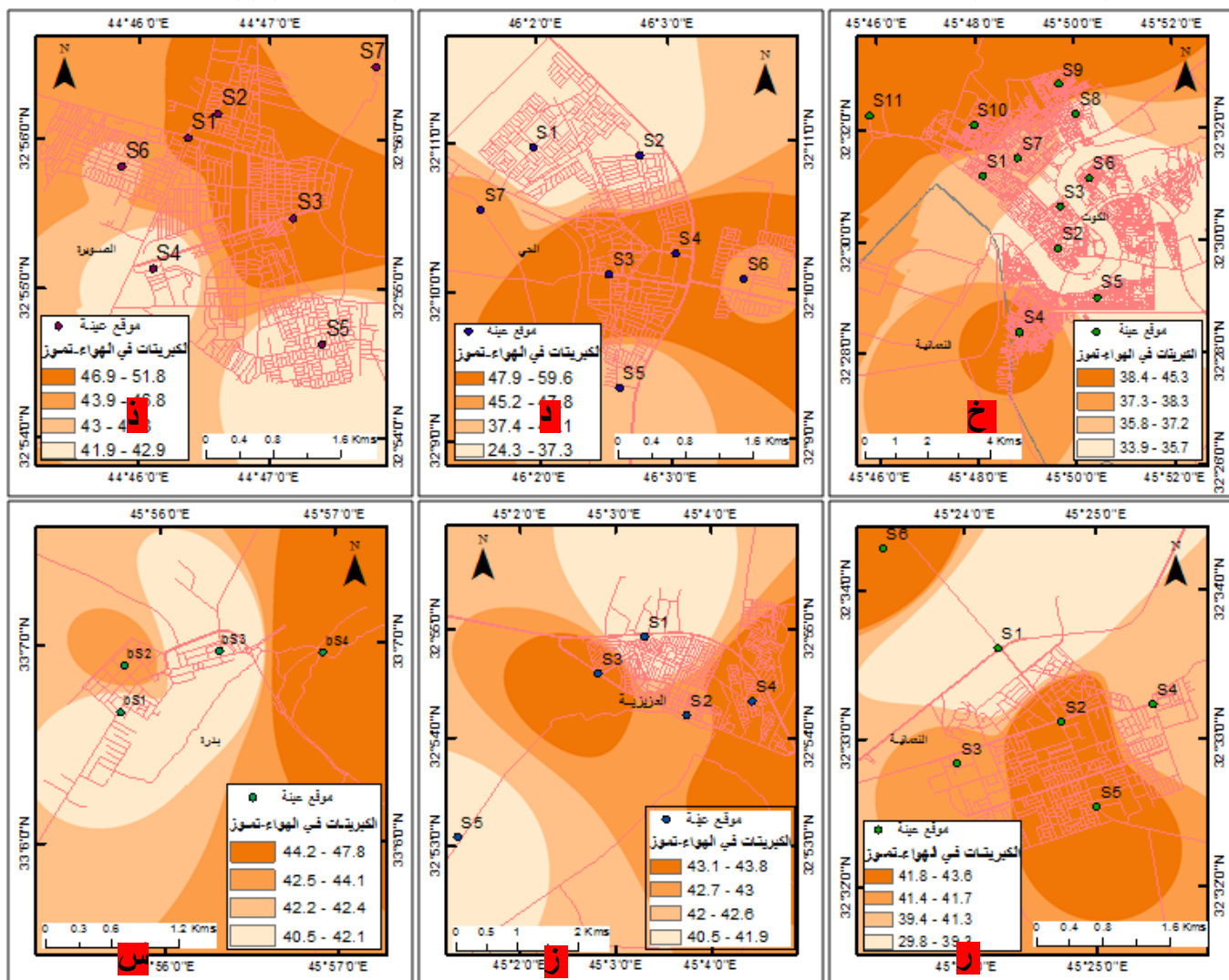
المصدر: بالاعتماد على بيانات الجدول (٢) واستخدام برنامج Arc GIS 10.7 .
 اما في قضاء العزيزية فقد انحصرت تركيزاتها مابين اعلى تركيز ($34.76 \mu\text{g}/\text{m}^3$) وادنى تركيز ($28.14 \mu\text{g}/\text{m}^3$) سجل في الموقعين (S4 , S1) على التوالي . وفي قضاء بدرة تراوحت تركيزاتها مابين ($35.91 \mu\text{g}/\text{m}^3$) نسبه التركيز الاعلى والتي سجلها الموقعا (S4) و ($33.08 \mu\text{g}/\text{m}^3$) ادنى نسبة تركيز سجلها الموقعا (S1) .

اما في فصل الصيف (شهر تموز) فيلاحظ من الخريطة (٢٢ . خ - س) ان تركيزات الكبريتات ترتفع نسبياً في معظم مواقع الدراسة لتتراوح في قضاء الكوت ما بين اعلى تركيز ($45.3 \mu\text{g}/\text{m}^3$) وادنى تركيز ($33.9 \mu\text{g}/\text{m}^3$) سجلا في

الموقعين (S9 , S3) على التوالي . فيما تراوحت تركيزاتها في قضاء الحي مابين ($41.9 \mu\text{g}/\text{m}^3$ - $59.6 \mu\text{g}/\text{m}^3$) وهو اعلى تركيز سجله الموقع (S5) و($24.3 \mu\text{g}/\text{m}^3$) كادنى تركيز سجله الموقع (S1) . بينما تراوحت تركيزاتها في قضاء الصويره مابين (, $41.9 \mu\text{g}/\text{m}^3$ - $51.8 \mu\text{g}/\text{m}^3$) وهمما اعلى وادنى تركيزين سجلهما الموقعين (S5 , S3) على التوالي . في حين تراوحت تركيزاتها في قضاء النعمانية مابين اعلى تركيز ($43.6 \mu\text{g}/\text{m}^3$) سجله الموقع (S2) وادنى تركيز ($29.8 \mu\text{g}/\text{m}^3$) سُجل في الموقع (S1) . وفي قضاء العزيزية فقد انحصرت تركيزاتها مابين نسبة التركيز الاعلى (S1). اما في قضاء بدرة فقد سجلت اعلى نسبة تركيز للكبريتات في الموقع (S4) اذ بلغت ($47.8 \mu\text{g}/\text{m}^3$) تقابلها في الموقع (S3) ادنى نسبة تركيز بلغت ($40.5 \mu\text{g}/\text{m}^3$) . لتراوح تركيزاتها بين ذلك في الموقع الاخرى .

تزداد الاثار السلبية لثاني اوكسيد الكبريت حين ترافقها جسيمات الغبار لاسيما الغبار الصناعي وفي هذا النوع من الترافق يتكون ما يعرف بairospoul الكبريتات، وهي مادة خطرة تفوق آثارها التخريبية أضعاف آثار غاز SO_2 وتعد أخطر الملوثات الهوائية على صحة كبار السن والمرضى من الناس .^(xx)

خ- س) التباين المكاني لتركيز الكبريتات المرتبط بالدائقق العالقة (ميكروغرام/م³) في هواء منطقة



الدراسة لشهر تموز

المصدر: بالاعتماد على بيانات الجدول (٢) واستخدام برنامج Arc GIS 10.7 .

- الاستنتاجات

- ١- اظهرت نتائج الدراسة ان تراكيز ومعدلات الدفائق الكلية العالقة (TSP) في هواء منطقة تتبادر مكانيًّا وزمانيًّا بشكل ملحوظ حيث يؤثر وقت النمذجة في تركيزاتها لذا ترتفع في فترة المساء لكثرة الحركة من أشخاص وسيارات ودرجات النارية ونشاط للفعاليات البشرية فضلاً عن قلة الطرق المعبدة وتقل في ساعات الصباح الأولى اذ يساعد انخفاض درجات الحرارة في هذا الوقت على ركود الملوثات وهبوط تراكيزها غير انها تجاوزت محددات منظمة الصحة العالمية (WHO) والبالغة ($150 \mu\text{g}/\text{m}^3$) والمحددات المحلية والبالغة ($350 \mu\text{g}/\text{m}^3$) في جميع المواقع وللفصلين الصيفي والشتوي باستثناء الموقعين (S7, S6) في قضائي الصويرة والنعمانية اذ كانتا ضمن المحددات المحلية المسموح بها خلال شهر كانون الثاني . كما سجلت تركيزات الدفائق العالقة ارتفاعاً واضحاً تجاوز ($4000 \mu\text{g}/\text{m}^3$) في بعض المواقع مما ينذر بأخطار صحية وبيئية تستدعي الانتباه والمعالجة .
- ٢- اظهرت نتائج حساب تراكيز عنصر الرصاص المرتبط بالدافائق العالقة في هواء منطقة الدراسة وجود تباين مكاني- زماني واضح في مستويات تراكيزه غير ان (١٠) موقع فقط تجاوزت تركيزاتها المحددات البيئية والبالغة ($2 \mu\text{g}/\text{m}^3$) ولفتره تعرض ٢٤ ساعة. اما في فصل الصيف (شهر تموز) فقد ارتفعت تراكيز الرصاص في معظم مواقع الدراسة لذ يلاحظ ان هناك (١٨) موقعاً تجاوزت فيها تراكيز الرصاص المحددات البيئية . وهذا ينطبق على عنصر الكادميوم اذا اشارت النتائج الى ان اعلى التراكيزات للكادميوم سجلت خلال فصل الصيف مع وجود تغير في تركيزاته على مستوى الواقع في كل قضاء اذ كانت تركيزاته دون حد الكشف لبعض المواقع لاسيمما خلال فصل الشتاء .
- ٣- اظهرت الدراسة ان تراكيز عنصر الكروم المرتبط في الدفائق العالقة في هواء منطقة الدراسة قد تجاوز محددات منظمة الصحة العالمية (WHO) والبالغة ($0.04 \mu\text{g}/\text{m}^3$). وللفصلين الصيفي والشتوي في جميع مواقع الدراسة باستثناء (٨) موقع توزعت في الكوت والحي والنعامية وبدرة كانت ضمن المحددات البيئية خلال فصل الصيف . كما كشفت الدراسة ارتفاع تراكيز عنصر النikel في معظم مواقع القياس لاسيمما خلال فصل الصيف اذ تجاوزت تركيزاته محددات منظمة الصحة العالمية والبالغة ($0.2 \mu\text{g}/\text{m}^3$) في جميع المواقع باستثناء الموقع (S1) في قضاء الحي .
- ٤- اشارت الدراسة الى ان تراكيز عنصر الزنك المرتبط بالدافائق العالقة في هواء منطقة الدراسة تتذبذب وتتبادر مكانيًّا وزمانيًّا في مستوياتها في موقع الدراسة والسبب في ذلك هو تباين مصادر انبعاثاته ولذلك تجاوزت تركيزاته محددات (WHO) والبالغة ($6 \mu\text{g}/\text{m}^3$) في (٢٨) موقعاً خلال فصل الشتاء و(٣٣) موقعاً في فصل الصيف .
- ٥- كشفت الدراسة الى ارتفاع تراكيزات عنصر النحاس في هواء منطقة الدراسة متزايداً متجاوزاً محددات منظمة الصحة العالمية والبالغة ($0.25 \mu\text{g}/\text{m}^3$) في جميع مواقع القياس وللفصلين الصيفي والشتوي. فيما اشارت نتائج حساب تراكيزات عنصر الحديد الى وجود تغير موقعي وتبادر مكاني وزماني مع ارتفاع واضح في اغلب المواقع نتيجة لتعدد مصادر انبعاثاته وغنى ترب منطقة الدراسة بالحديد فضلاً عن النحاس الامر الذي ساعد على زيادة تراكيزاهما في هواء منطقة الدراسة .
- ٦- اشارت الدراسة الى ان هناك تباين طفيف في تراكيز الملوثات الثانوية (النترات والكبريتات) ففي ما يخص ايون النترات وجد ان مستوياتها متقاربة في معظم مواقع القياس مع ارتفاع تراكيزاتها خلال فصل الصيف والسبب في ذلك هو تشابه مصادر انبعاث اكسيد النيتروجين وقبليتها على التحول في الجو الى نترات فضلاً عن دور الاشعاع الشمسي ودرجة الحرارة والرطوبة في عملية التحويل .

الوصيات

للحد من تلوث الهواء في المناطق الحضرية توصي الدراسة بما يأتي :

- ١- وضع القوانين والسياسات والتشريعات والأنظمة البيئية التي تساعد على حماية البيئة والحد من نشاطات الانسان السلبية والتقليل من مستويات التلوث والسيطرة عليه وكذلك الادارة السليمة للمصادر الطبيعية وحماية النظام البيئي الحيوي من

- خلال التنسيق والتوعية والتخطيط لتشريعات ضابطة قابلة للتطبيق والتفعيل وأساليب رقابية صارمة يمكن أن تسهم في ضمان بيئة نظيفة وغرس ثقافة المحافظة عليها .
- ٢- نقل ورش الحداقة وتصلح السيارات والمعامل وساحات بيع المواد الانشائية من المدن إلى مناطق بعيدة تخصص لها للتقليل من إضرارها البيئية والالتزام العاملين بتلك الاشطدة بضرورة الالتزام بالضوابط واللوائح البيئية لتوقيع تلك الاشطدة .
- ٣- السيطرة والتقليل من الجسيمات المنبعثة من مداخل المصانع بوصفها مخلفات صناعية وذلك عن طريق ايجاد طرق انتاج محكمة الغلق لتجميع الجسيمات مثل استخدام المرسبات الكيميائية واستخدام المرشحات .
- ٤- تخصيص مناطق لجمع وتمرير النفايات الصلبة وإعادة تدويرها بعيدة عن المدن لمخاطرها البيئية ومنع تجمعها وحرقها داخل الأحياء السكنية وذلك من خلال دعم قطاع البلديات في المدن .
- ٥- ضرورة زيادة المساحات الخضراء داخل المدن وقرب الشوارع لها من دور في تلطيف الجو والتقليل من مستويات التلوث بالإضافة إلى أنها تعمل كمصدات للرياح مما يقلل من كمية الدفائق العالقة والعناصر الثقيلة ومنع تعرية التربة . كذلك مراقبة حالة التربة النباتات في المدن إذ تعتبر مؤشر حيوي لحالة التلوث في المدن وتحليل مكونات الغبار المتساقط باستمرار .

الهوامش

- (١) فيصل مناور المعروف ، المراتب الحجمية والخدمية للمراكز البشرية في محافظة جرش / الأردن، مجلة القادسية للعلوم الإنسانية، المجلد (٢٢)، العدد (٤)، ٢٠١٩، ص ١٦.
- <http://qu.edu.iq/journalart/index.php/QJHS/article/view/201>-
(٢) حسين علوى ناصر الزيدى وحسام صبار هادي، دور تقنيات الاستشعار عن بعد ونظم المعلومات الجغرافية في تحديد محاور التوسيع العشوائى لمدينة الناصرية، مجلة القادسية للعلوم الإنسانية، المجلد (٢١)، العدد (٤)، ٢٠١٨، ص ١٣.
- <http://qu.edu.iq/journalart/index.php/QJHS/article/view/169>-
(٣) Ajayi Eshioerenoya David, Measurement of Total Suspended Particulate Matter (TSP) in an Urban Environment: Yenagoa and Its Environs, Journal of Geography, Environment and Earth Science International, 11(3) , 2017, P 4 .
- (٤) Muhammad N. A.Al-Azzawi and Shaimaa .H.H.Al-Dulaimi, Measuring the concentration of Suspended Particulate Matter and some heavy metals in air of two areas of Rusafa in Baghdad, Iraqi Journal of Science, Vol 56, No.1B, 2015, p 364 .
- (٥) صباح يوسف سمعان، تراكيز الدفائق المادية العالقة والرصاص في الهواء المحيط لبعض المواقع في مدينة بغداد، مجلة كلية التربية، المجلد ٤، العدد ٤، ٢٠٠٤، ص ٧٣ .
- (٦) Livett, EA, Heavy metal pollution of the atmosphere, In: Nierenberg WA (ed) Encyclopedia of Earth system science. Acad Press, San Diego, 1992, p 511 .
- (٧) Mirjana Ristic et al , Plants as Monitors of Lead Air Pollution , Environmental Chemistry for a Sustainable World, Vol. 4 , Issn: 2213-7114 , 2013, p 18 .
- (٨) E.A. Lane et al , Cadmium exposure and consequence for the health and productivity of farmed ruminants , Elsevier , Research in Veterinary Science 101 (2015) , p133 .
- (٩) WHO Regional Office for Europe, Air Quality Guidelines - Second Edition, OP, Cit , P 1 – 2 .
- (١٠) European Commission, Ambient air pollution by AS, CD and NI compounds. Position Paper , Final Version , DG Environment , 2000, p 55 – 56 .
- (١١) Vladimira Vadjic et al , Zinc Levels in Suspended Particulate Matter in Zagreb Air , Springer , Bull Environ Contam Toxicol , 2010 , p 628 .
- (١٢) Panos Georgopoulos And others , Environmental copper: Its dynamics and human exposure issues , Article in Journal of Toxicology and Environmental Health , Part B, 2001, p 52 .
- (١٣) Andrea Geiger and John Cooper, Overview of Airborne Metals Regulations, Exposure Limits, Health Effects, and Contemporary Research, Cooper Environmental Services LLC, Portland, 2010, 29 .

- (xiv) Hazem Aziz Hamza Al-Rubaie, Pollution from dust from the Kufa and Najaf cement plants affected the soil and plants, PhD thesis, Faculty of Science, University of Babylon, 2011, p 44 .
- (15) S. E. Bauer et al , Nitrate aerosols today and in 2030: a global simulation including aerosols and tropospheric ozone, Published by Copernicus Publications on behalf of the European Geosciences Union , Atmospheric Chemistry and Physics, 2007, 5044 .
- (16) Carolyn Harper et al, Toxicological Profile For Nitrate And Nitrite, U.S. Department of Health And Human Services, Agency for Toxic Substances and Disease Registry, 2017, p 195 .
- (17) Thad Godish, Air Quality, 4th Edition, LEWIS PUBLISHERS, A CRC Press Company, Boca Raton London New York Washington, D.C, 2005, P 46 .
- (xviii) نادية كامل بشار القرشي، دراسة بعض التأثيرات البيئية لملوثات الهواء في بغداد، رسالة ماجستير (غ. م)، كلية العلوم، الجامعة المستنصرية، ٢٠٠٩، ص ٣٢ .
- (19) George D. Thurston and Morton Lippmann, Spatial and Temporal Patterns in Summertime Sulfate Aerosol Acidity and neutralization Within A metropolitan area , Atmospheric Environment Vol. 24B, No. 1, p 121 .
- (20) Gerhard Lammel and Adrian Leip , Formation of Nitrate and Sulfate in the Plume of Berlin , ESPR – Environ Sci & Pollut Res 12 (4) , 2005 , p 216 .

Reference

- 1- European Commission, Ambient air pollution by AS, CD and NI compounds. Position Paper , Final Version , DG Environment , 2000 .
- 2- Vladimira Vadovic et al , Zinc Levels in Suspended Particulate Matter in Zagreb Air , Springer , Bull Environ Contam Toxicol , 2010 .
- 3- Panos Georgopoulos And others , Environmental copper: Its dynamics and human exposure issues , Article in Journal of Toxicology and Environmental Health , Part B, 2001 .
- 4- Andrea Geiger and John Cooper, Overview of Airborne Metals Regulations, Exposure Limits, Health Effects, and Contemporary Research, Cooper Environmental Services LLC, Portland, 2010 .
- 5- Hazem Aziz Hamza Al-Rubaie, Pollution from dust from the Kufa and Najaf cement plants affected the soil and plants, PhD thesis, Faculty of Science, University of Babylon, 2011 .
- 6- S. E. Bauer et al , Nitrate aerosols today and in 2030: a global simulation including aerosols and tropospheric ozone, Published by Copernicus Publications on behalf of the European Geosciences Union , Atmospheric Chemistry and Physics, 2007, 5044 .
- 7- Carolyn Harper et al, Toxicological Profile For Nitrate And Nitrite, U.S. Department of Health And Human Services, Agency for Toxic Substances and Disease Registry, 2017 .
- 8- Thad Godish, Air Quality, 4th Edition, LEWIS PUBLISHERS, A CRC Press Company, Boca Raton London New York Washington, D.C, 2005 .
- 9- Nadia K. Bashar Al-Quraeshi, Study Some Environmental Impact of Air Pollutants in Baghdad City, A thesis of Master, College of Science, Al-Mustansiriyah University, 2009 .
- 10-George D. Thurston and Morton Lippmann, Spatial and Temporal Patterns in Summertime Sulfate Aerosol Acidity and neutralization Within A metropolitan area , Atmospheric Environment Vol. 24B, No. 1.
- 11-Gerhard Lammel and Adrian Leip , Formation of Nitrate and Sulfate in the Plume of Berlin , ESPR – Environ Sci & Pollut Res 12 (4) , 2005 .
- 12-Sabah Youssef Samaan, The concentrations of suspended material particles and lead in the surrounding air at some sites in Baghdad, Journal of the College of Education, Volume 4, Issue 4, 2004 .
- 13-Livett, EA, Heavy metal pollution of the atmosphere, In: Nierenberg WA (ed) Encyclopedia of Earth system science. Acad Press, San Diego, 1992 .
- 14-Mirjana Ristic et al , Plants as Monitors of Lead Air Pollution , Environmental Chemistry for a Sustainable World, Vol. 4 , Issn: 2213-7114 , 2013 .

- 15-8- E.A. Lane et al , Cadmium exposure and consequence for the health and productivity of farmed ruminants , Elsevier , Research in Veterinary Science 101 (2015) .
- 16-WHO Regional Office for Europe, Air Quality Guidelines - Second Edition .
- 17- Ajayi Eshiorenoya David, Measurement of Total Suspended Particulate Matter (TSP) in an Urban Environment: Yenagoa and Its Environs, Journal of Geography, Environment and Earth Science International, 11(3) , 2017 .
- 18-Faisal Mnawer Al-Mayouf, The volumetric and service ranks for human centers in Jerash governorate / Jordan, Al-Qadisiyah Journal For Humanities Sciences Vol.(22) No.(4)(2), 2019 .
<http://qu.edu.iq/journalart/index.php/QJHS/article/view/201>-
- 19-Hussein Alewi Nasser Al-Ziyadi and Hussam Sabbar Hadi, The role of remote sensing techniques and geographic information systems in determining the axes of random expansion of the city of Nasiriyah, Al-Qadisiyah Journal For Humanities Sciences Vol.(21) No.(4), 2018 .
<http://qu.edu.iq/journalart/index.php/QJHS/article/view/169>-
- 20-Muhammad N. A.Al-Azzawi and Shaimaa H.H.Al-Dulaimi, Measuring the concentration of Suspended Particulate Matter and some heavy metals in air of two areas of Rusafa in Baghdad, Iraqi Journal of Science, Vol 56, No.1B, 2015 .